



## Investigating the optimal amount of chlorine consumption in the disinfection of the effluent of the Arak sewage treatment plant

Ashraf Ahmadloo<sup>1</sup>, Zabihollah Khani Temeliyeh<sup>2\*</sup>

<sup>1</sup> Graduated from Master's in environmental engineering, head of water treatment plant operation group, Arak Central Province Water and Wastewater Company, Arak.

<sup>2</sup>Ph.D. Graduated of Water Resources Engineering, Department of Water Engineering, Faculty of Agriculture, Urmia University, Urmia, Iran. Expert in Watershed and Researcher, Organization of Agricultural Research and Natural Resources of Khuzestan Province, Khuzestan, Iran.

Received: 28.06.2023; Accepted: 02.09.2023

### Abstract

**Objective:** This research, has tried to find the optimal amount of chlorine consumption, which is effective in disinfection and production of trihalomethanes, by conducting tests on many parameters of the effluent samples in different seasons of the year, including (temperature, pH, COD, BOD, total coliform and human excreta coliform, etc.) should be investigated. Therefore, Arak Arak-activated sludge wastewater treatment plant was selected as a pilot.

**Methods:** This research was based on standard methods, in which approximately three samples were taken from the treatment plant effluent every month. The experiments that were conducted in this research include the measurement of COD, BOD, T(temperature), pH, TSS, and total coliform, for which a series of equipment and consumables were used. For the statistical analysis of the results obtained from the samples, Fisher's least significant difference (LSD) test was used in the SPSS software environment, and correlation analysis and graphs were used in the Excel program.

**Results:** The results of the MPN test indicated an acid reaction or gas production after 45-51 hours, indicating a positive response to the possible test. The absence of acid reaction or gas production at the same time indicated a negative result. The results showed that the average pH in the effluent of the treatment plant was 7.73, the average BOD was 10.4 mg/liter, the COD was 33.3 mg/liter, and the average temperature was 17.9 degrees Celsius, which is higher It was from ambient temperature. Also, the average consumption of chlorine in the weeks of different seasons of spring, summer, autumn, and winter was 420.46, 509.69, 476.21, and 260.26 kg, respectively, and the highest weekly and monthly consumption occurred in the summer season.

**Conclusions:** The results of the research using statistical methods (Pearson's correlation) showed that the amount of chlorine consumption in different seasons of the year changed with the change of weather conditions, microbial load, chlorine consumption increased in hot seasons and decreased in cold seasons, and the amount of chlorine consumption was correlated intense and had a significant relationship with the amount of coliform, and in this research, the optimal point of chlorine consumption was at the highest amount of coliform in the range between 15,000-20,000 kg.

**Keywords:** Treatment plant, chlorine, Disinfection, BOD, COD

\* Corresponding author, E-mail: z.khani1060@yahoo.com

Cite this article: Ashraf Ahmadloo, Zabihollah Khani Teeliyeh. (2024). Investigating the optimal amount of chlorine consumption in the disinfection of the effluent of the Arak sewage treatment plant. *Journal of New Approaches in Water Engineering and Environment*, 3(1), 1-22.  
<http://doi.org/10.22034/nawee.2023425409.1055>





## بررسی میزان بهینه مصرف کلر در گندздایی پساب تصفیه خانه فاضلاب اراک

ashraf ahmedlo<sup>1</sup>, ذبیح الله خانی تمیله<sup>2\*</sup>

اکارشناس ارشد مهندسی محیط زیست، رئیس گروه بهره برداری تصفیه خانه آب، شرکت آب و فاضلاب استان مرکزی، اراک، ایران.  
دانش آموخته دکترا مهندسی منابع آب، گروه مهندسی آب، دانشکده کشاورزی، دانشگاه ارومیه، ارومیه، ایران، کارشناس آبخیزداری و پژوهشگر سازمان تحقیقات کشاورزی و منابع طبیعی استان خوزستان، خوزستان، ایران.

تاریخ دریافت: ۱۴۰۲/۰۶/۱۱؛ تاریخ پذیرش: ۱۴۰۲/۰۶/۰۷

### چکیده:

هدف: در این تحقیق سعی بر آن شده به مقدار بهینه مصرف کلر را که در گندздایی و تولید تری هالو متان‌ها مؤثر می‌باشد دست پیدا کرده و با انجام آزمون‌هایی روی تعدادی از پارامترهای نمونه‌های پساب خروجی در فضول مختلف سال از جمله (Dma, BOD, COD, pH, TSS) کلیفرم کل و کلیفرم فضولات انسانی (...). بررسی گردد. از این‌رو تصفیه خانه فاضلاب لجن فعال اراک به عنوان پایلوت انتخاب گردید.  
روش پژوهش: این پژوهش براساس روش‌های استاندارد صورت گرفت، که در آن در هرماه تقریباً سه نمونه از پساب خروجی تصفیه خانه گرفته شد. آزمایش‌هایی که در این پژوهش انجام گرفت عبارتند از اندازه‌گیری BOD، COD، pH، Dma، TSS، کلیفرم کل، که برای انجام آنها یکسری تجهیزات و مواد مصرفی استفاده گردید. جهت تحلیل آماری نتایج حاصل از نمونه‌ها از آزمون حداقل اختلاف معنی دار فیشر (LSD) در محیط نرم افزار SPSS استفاده گردید، همچنین تحلیل همبستگی و ترسیم نمودارها از برنامه Excel استفاده گردید.  
یافته‌ها: نتایج حاصل از آزمون MPN حاکی از ایجاد واکنش اسیدی یا تولید گاز پس از ۵۱ تا ۴۵ ساعت، بیانگر پاسخ مثبت به آزمایش احتمالی بود. عدم واکنش اسیدی یا تولید گاز در همین زمان، بیانگر نتیجه منفی بود. نتایج حاصل نشان داد که متوسط pH در پساب خروجی تصفیه خانه ۷/۷۳، متوسط ۱۰/۴ BOD، ۱۰/۴ میلی‌گرم در لیتر، COD، ۳/۳ میلی‌گرم در لیتر، متوسط Dma ۱۷/۹ درجه سانتیگراد بوده است که این دما بالاتر از دمای محیط بوده است. همچنین متوسط مصرف کلر در هفته‌های فضول مختلف بهار، تابستان، پاییز و زمستان بترتیب ۴۶/۴۰، ۴۷/۶۰ و ۲۸/۲۶ کیلوگرم بوده است که بیشترین میزان مصرف هفتگی و ماهانه در فصل تابستان رخداده است.

نتیجه‌گیری: نتایج حاصل از تحقیق با استفاده از روش‌های آماری (همبستگی پیرسون) نشان داد که میزان مصرف کلر در فضول مختلف سال با تغییر شرایط آب‌وهواهایی، بار میکروبی تغییر داشته، در فضول گرم مصرف کلر افزایش و در فضول سرد کاهش پیداکرده و مقدار مصرف کلر همبستگی شدید و ارتباط معناداری با میزان کلیفرم داشته که در این تحقیق نقطه بهینه مصرف کلر در بالاترین مقدار کلیفرم در محدوده بین ۱۵۰۰۰-۲۰۰۰۰ کیلوگرم بوده است.

**کلیدواژه‌ها:** تصفیه خانه، کلر، گندздایی، COD، BOD

\* نویسنده مسئول: Email: z.khani1060@yahoo.com

استناد: احمدلو، اشرف؛ خانی تمیله، ذبیح الله (۱۴۰۳). بررسی میزان بهینه مصرف کلر در گندздایی پساب تصفیه خانه فاضلاب اراک. رویکردهای نوین در مهندسی آب و محیط‌زیست، ۳ (۱)، ۱-۲۲. <http://doi.org/10.22034/nawee.2023425409.1055>

© نویسنده‌گان

ناشر: دانشگاه گنبد کاووس.



در منابع آبی، از بین رفتن برخی از آبزیان، بروز بیماری‌هایی همچون سلطان، فشارخون و بیماری آبی در کودکان عنوان نموده‌اند. تاکنون، آزادی و روزبهانی (۱۳۹۰)، میزان تزریق کلر در محل‌های تزریق را با استفاده از تلفیق یک مدل تحلیل هیدرولیکی و کیفی (EPANET<sup>1</sup>) و یک مدل بهینه‌سازی غیرخطی الگوریتم ژنتیک بهینه نمودند. آن‌ها این مدل را برای دو شبکه آبرسانی آبرسانی صحت سنجری نموده و نشان دادند که این مدل از کارایی مناسبی برای تعیین میزان بهینه تزریق کلر در شبکه بربوردار می‌باشد. سندجی (۱۳۹۱)، در تحقیقی به بررسی عملکرد بازگشت مایع مخلوط<sup>۲</sup>، بر روی کاهش نیتروژن خروجی تصفیه‌خانه فاضلاب شهر شیراز در مقیاس آزمونه (پایلوت) به روش MLE<sup>۳</sup> آغاز نموده که روش MLE به عنوان یک روش بهروز و قابل انطباق با تصفیه‌خانه موجود در شهر شیراز توانسته در عمل، تأثیر مناسبی در حذف مقدار نیتروژن در پساب خروجی و البته در جریان برگشتی چهار برابر دبی رودی داشته باشد. میرزاپی تختگاهی و قمرنیا (۱۳۹۶)، در تحقیقی تحت عنوان کیفیت خروجی تصفیه‌خانه فاضلاب شهر کرمانشاه برای تخلیه به آب‌های سطحی عنوان داشته‌اند که در تصفیه‌خانه کیهانشهر کرمانشاه، پساب با سیستم تصفیه لجن فعال در حال حاضر به طور مستقیم وارد رودخانه قره‌سو می‌شود. در این تحقیق نمونه‌برداری به صورت فصلی و طی یک سال از خروجی تصفیه‌خانه به عمل آمد. کیفیت خروجی تصفیه‌خانه برای تخلیه به آب‌های سطحی با توجه به استاندارد سازمان حفاظت محیط‌زیست ایران مورد بررسی قرار گرفت. نتایج نشان داد که غیر از تعدادی از عناصر که در تمام فضول نیتروژن ندارند، سایر بوده و مشکلی برای تخلیه به آب سطحی ندارند، سایر پارامترها با توجه به استاندارد سازمان حفاظت محیط‌زیست بیشتر از حد مجاز بوده و قابل تخلیه به آب‌های سطحی نبوده و باعث آلودگی آن می‌شود. امینی و اوتابادی (۱۳۹۵)، در تحقیقی تحت عنوان بررسی رآکتور انوکسیک تصفیه‌خانه فاضلاب ساری به روش لجن فعال MLE و تعیین عوامل مؤثر بر آن پرداختند. نتایج حاصل از

## مقدمه

با گسترش روزافزون جمعیت و متعاقباً افزایش حجم فاضلاب تولیدی، نیاز به ارتقاء ظرفیت پذیرش تصفیه‌خانه فاضلاب‌های موجود می‌باشد. دستگاه‌های تصفیه فاضلاب به دو دسته عملیاتی و فرایندی تقسیم می‌شوند. در واحدهای عملیاتی برای حذف آلاینده‌ها از مکانیسم فیزیکی استفاده می‌شود. در واحدهای فرایندی برای حذف آلاینده‌ها از مکانیسم بیوشیمیایی یا شیمیایی استفاده می‌شود. یک مجموعه‌ی تصفیه‌ی فاضلاب شامل واحدهای عملیاتی و فرایندی است که به منظور کاهش آلاینده‌های فاضلاب و تقلیل آن به حد مجاز به کار گرفته می‌شود. روش‌های متداول تصفیه فاضلاب عبارتند از: تصفیه مقدماتی، تصفیه ثانویه، تصفیه پیشرفته (فلاح پور، ۱۳۸۷). فاضلاب را می‌توان ترکیبی از مایع یا فضولاتی دانست که توسط آب از مناطق مسکونی، اداری و تأسیسات تجاری و صنعتی حمل شده و بر حسب مورد با آب‌های زیرزمینی، آب‌های سطحی و سیلاب‌ها آمیخته است، همچنین تصفیه‌ی فاضلاب عبارت است از "انجام هرگونه عملیات فیزیکی، شیمیایی یا بیولوژیکی یا ترکیبی از آن‌ها بر روی فاضلاب خام جهت کاهش یا رفع هرگونه آلودگی از فاضلاب و رساندن کیفیت پساب حاصل جهت انطباق با استانداردهای موجود جهت دفع پساب به محیط‌زیست (متکalf و همکاران، ۲۰۱۴).

## پیشینه پژوهش

در زمینه تصفیه فاضلاب مطالعاتی در جنبه‌های مختلف صورت گرفته است که از جمله این مطالعات می‌توان به موارد زیر اشاره کرد: ابراهیمی و عرفانی (۱۳۹۱)، در تحقیقی به بررسی کار آبی روش‌های حذف بیولوژیکی مواد مخذی BNR<sup>۱</sup> و مقایسه آن‌ها از نظر اقتصادی پرداختند، نتایج حاصل از تحقیق‌شان نشان داد که، وجود بیش از حد نیتروژن در پساب به عنوان نوعی آلودگی اشاره کرد و تأثیرات نامطلوب ترکیبات نیتروژن را در آب‌های پذیرنده برافراش می‌دانند. میرنیاز آن‌ها و افزایش مصرف کلر در ضدغونی نمودن پساب خروجی، رخ دادن اوتوفیکاسیون

1. Biological removal of nutrients

2 .Environmental Protection Agency Network Evaluation Tool

3 .Mixed Liquor

4 .Modified Ludzak- Ettinger

و همکاران ۲۰۱۵؛ کارادیرک و همکاران a,b ۲۰۱۶؛ کاپوداگلیو و همکاران ۲۰۱۶؛ گوستاوو و لارا بورو ۲۰۱۶؛ بورسیس و شاه ۲۰۱۷؛ اسلامی و همکاران ۲۰۱۹؛ راجمدی و همکاران ۲۰۲۰؛ گامیز و همکاران ۲۰۲۰؛ هوكو و همکاران ۲۰۲۱؛ عبدو و همکاران ۲۰۲۲؛ کسار و همکاران ۲۰۲۲؛ تیبه و همکاران ۲۰۲۲؛ لی و همکاران ۲۰۲۳) هدف از این تحقیق شناسایی بهترین روش گندزدایی در تصفیه خانه فاضلاب، تعیین میزان مصرف کلر در تصفیه خانه‌های فاضلاب در فصول مختلف در شهر اراک می‌باشد که با توجه به شرایط آب‌وهوا و فرهنگ و بار میکروبی هر منطقه میزان مصرف آن متغیر می‌باشد.

روش‌شناسی پژوهش  
منطقه مورد مطالعه

متوسط دبی ورودی به تصفیه خانه اراک ۵۵۰۰۰ مترمکعب در روز می باشد. که این جریان ورودی به تصفیه خانه توسط دریچه های مقسم جریان و دی سنج کنترل شده و مابقی فاضلاب از طریق کانال مقسم ورودی به تصفیه خانه بر که تثبیت هدایت می شود. بخشی از فاضلاب جمع آوری شده شهر اراک، شامل فاضلاب خانگی و صنعتی از صنایع گوناگون به تصفیه خانه لجن فعال می باشد. شکل (۱) و شماتیک تصفیه خانه لجن فعال اراک و شکل (۲) میزان دبی ورودی و خروجی را نشان می دهد (خلیلی و همکاران ۱۳۹۳). تمام آزمون های این تحقیق در سال ۱۳۹۷ در آزمایشگاه مرکزی شرکت آب و فاضلاب طبق روش های استاندارد متداوام شده و در هر ماه تقریباً سه نمونه از پساب خروجی تصفیه خانه گرفته شد و آزمایش های اندازه گیری COD، BOD، pH، TSS، کلیفرم کل، انجام گرفت که در ادامه تحقیق به مراحل مختلف آن پرداخته شده است. تجهیزات و مواد مصرفی موردنیاز: (۱) دستگاه ترمومتر (۲) دستگاه اسپکتروفوتومتر (۳) محلول های استاندارد CRM یا RM (۵) پیت حبابدار یا

تحقیق‌شان نشان داد که، اخیراً توجه به حذف مواد مغذی خصوصاً ازت و فسفر در سیستم‌های تصفیه فاضلاب افزایش یافته است. آن‌ها در این تحقیق تعداد ۱۲۶ نمونه برداشت و پارامترهایی مانند نیتریت، نیترات، pH دما، جامدات کل، جامدات فرار و  $BOD_5$  اندازه‌گیری شده‌اند. نتایج حاصله نشان داد که ارتباط خوبی بین راندمان حذف نیتروژن کل با پارامترهای،  $BOD_5$  دما، TSS تسبیت جریان برگشتی و زمان ماند هیدرولیکی و میکروبی وجود دارد. عمر و همکاران (۲۰۱۴)، به پیش‌بینی روند اضمحلال دی‌اکسید کلر در شبکه‌های آبرسانی با استفاده از یک شیوه نیمه تجربی پرداختند. نتایج حاصل از تحقیق‌شان حاکی از توانایی مناسب مدل نیمه تجربی در شبیه‌سازی روند اضمحلال دی‌اکسید کلر می‌باشد. بایانی، تابش و نظیف (۱۳۹۶)، برای تأمین تواضع هدف کاهش هزینه کلر مصرفی و افزایش شاخص اطمینان کیفی شبکه آب، از الگوریتم جامعه مورچگان استفاده نمودند. آن‌ها در مطالعه خود حالات مختلف تزریق کلر (ثابت یا متغیر بودن میزان تزریق کلر و وضعیت دور پمپ) را با در نظر گرفتن انواع روش‌های موجود برای تحلیل هیدرولیکی شبکه (تحلیل مبتنی بر تقاضا (DDSM) و تحلیل مبتنی بر فشار HDSM) را مورد بررسی قرار داند. بر اساس نتایج به دست آمده، استفاده از پمپ با دور ثابت و نرخ متغیر تزریق کلر، در مقایسه با حالت پمپ با دور ثابت و میزان ثابت تزریق کلر، نتایج بهتری را به دست می‌دهد. همچنین مقایسه نتایج تحلیل هیدرولیکی شبکه در روش‌های مختلف نشان داد که استفاده از روش تحلیل مبتنی بر فشار، نتایج بهتری را نسبت به روش تحلیل مبتنی بر تقاضا در بردارد. از جمله مطالعات دیگر در زمینه‌های مختلف می‌توان به مطالعات زیر اشاره کرد: (دیندارلو و دستورانی ۱۳۹۶؛ انبیرونی ۱۳۹۸؛ ذو نعمت کرمانی، جمالی زاده و رمضانی نوری ۱۳۹۷؛ اشجاری باسمج و همکاران ۱۳۹۹؛ بنی چرمه‌هینه ۱۳۹۷؛ مهدکیوانی و فکری ۱۴۰۰؛ قائد رحمتی، معاضد و تیشه زن ۱۳۹۹؛ نجاری و همکاران ۱۴۰۴؛ پژو و استانسکو ۱۵۰۱؛

### 1 .Biochemical Oxygen Demand

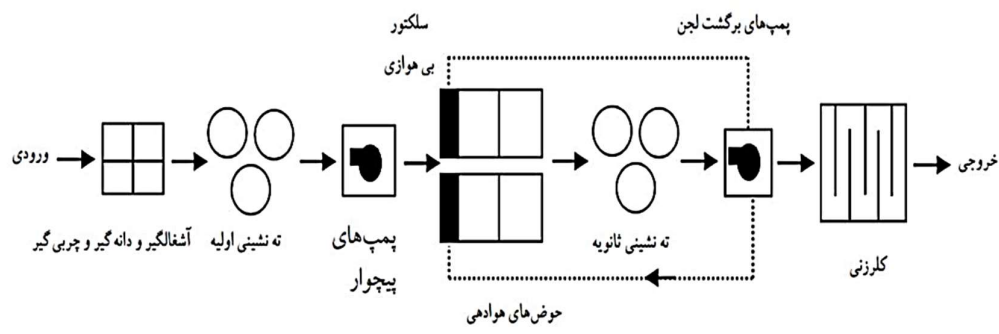
#### 2 . Total Suspended Solids

### 3 Demand Driven Simulation Method

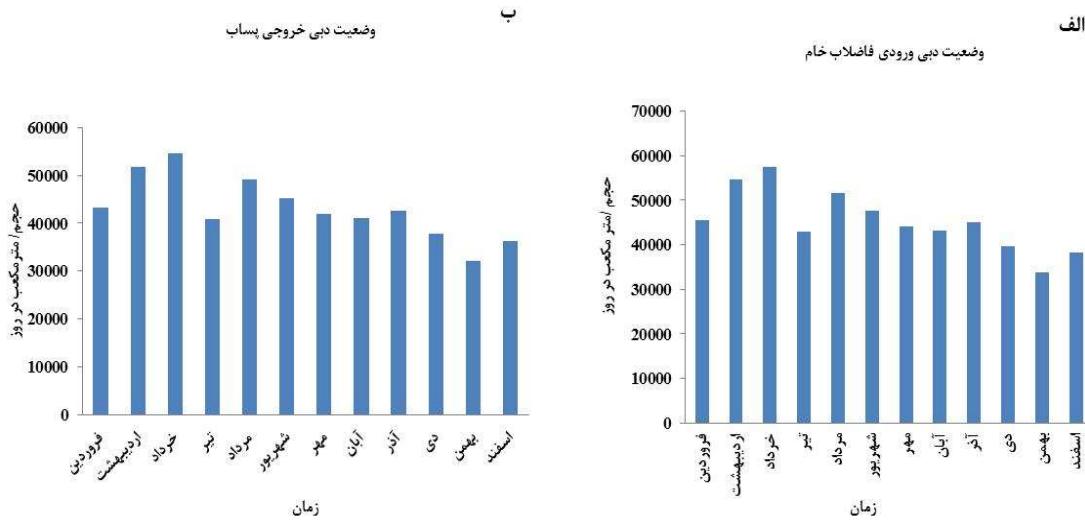
#### 4 Head Driven Simulation Method

## 5. Chemical Oxygen Demand

پیپت مدرج ۲ ml میلی‌لیتر و یا سمپلر ۲ ml.



شکل ۱- تصفیه خانه لجن فعال اراک (خلیلی و همکاران، ۱۳۹۳)



شکل ۲- میزان دبی ورودی فاضلاب خام (الف)، میزان دبی خروجی پساب (ب)

طی مدت زمان مشخص ۵ روز اندازه‌گیری صحیح مقدار BOD در فاضلاب‌های ارسالی از تصفیه‌خانه و شبکه شهر اراک بستگی به نمونه‌ها دارد. شرایط محیطی مورد نیاز در

**روش اندازه‌گیری BOD**  
تعیین مقدار اکسیژن موردنیاز بیوشیمیایی (BOD)، برای تجزیه مواد آلی تو سطح میکرووارگانیسم‌ها در فاضلاب

قادرند در مدت ۲۴ ساعت در دمای ۴۴/۳ تا ۴۴/۷ درجه سلسیوس نیز تولید اسید و گاز کنند.

### مواد و سایل موردنیاز اندازه‌گیری کلیفرم‌ها

(۱) اتوکلاو (۲) انکوباتور با دمای ثابت ۳۴/۵ الی ۳۵/۵ درجه سلسیوس. دما بهوسیله دیتا لاگر به طور مرتب کنترل می‌گردد. (۳) بن ماری تنظیم شده در دمای ۴۴/۳ الی ۴۴/۷ درجه سلسیوس دما بهوسیله دماسنچ دیجیتال کنترل می‌گردد. (۴) لوله‌های آزمایش  $180 \times 18$  میلی‌متر و درب پوش مناسب. (۵) بالن استریل (در صورت نیاز به رقیق‌سازی). (۶) هود لامینارفلو (۷) پیپتون واتر (در صورت نیاز به رقیق‌سازی). (۸) آب مقطر. (۹)

### مقدار موردنیاز کلر

اگر فاضلاب بهمنظور کنترل  $H_2S$  موجود در آن تصفیه شده باشد راه عملی برای تعیین مقدار کلرنهایی آزمایش کلر موردنیاز است و این روش در استاندارد مت آمده است و مدت زمان ۵ دقیقه برای تماس کلر مصرفی کافی است، مقدار باقیماندهای که بعد از ۵ دقیقه بر جا می‌گذارد برای انجام تمام واکنش‌های کلر - سولفید تا مرحله تکمیل شدن کافی است. کمیت موادی که برای آن‌ها کلر لازم است در هر تصفیه‌خانه متفاوت است و درنتیجه مقدار کلر لازم برای ضدغونی مناسب نیز فرق خواهد داشت. مقدار کلر باقیمانده از روی جمعیت میکروارگانیسم تعیین می‌شود که این جمعیت را از روی محتمل ترین تعداد کلیفرم موجود در آب  $MPN^{1}$  تخمین می‌زنند این آزمون در سه مرحله: (۱) تست پیش فرض (۲) تست تأییدیه (۳) تست تکمیلی <sup>۴</sup> انجام می‌شود. دستگاه کلر زن سیستم ضدغونی آب تو سط تزریق کلر به عنوان فرایند گندزدایی جهت حذف آلودگی‌های میکروبی و حذف میکروارگانیسم‌های موجود در آب از قبیل باکتری و جلبک می‌باشد. با توجه به حجم آب مورد گندزدایی وسعت پرتوژه روش کلرزنی تعیین می‌گردد و کلر ممکن

فاصله زمانی بین نمونه‌برداری و آغاز آزمایش نمونه‌ها را می‌بایست در دمای پایین ۴ درجه سانتی‌گراد نگهداری نمود. سپس نمونه را در دمای ۴ درجه سانتی‌گراد حداقل تا ۴۸ ساعت و حداقل تا ۶ ساعت می‌توان نگهداری نمود. نمونه موردنظر را بلافاصله بعد از نمونه‌برداری درون بالن حجمی ریخته شد سپس آن را به بطی‌های مخصوص BOD منتقل داده باشد و به نمونه Nutrient اضافه گردید. سپس درون پوشش پلاستیکی و سیامرنگ سر بطی‌پودر  $LiOH$  که جاذب  $CO_2$  است قرار داده شد و بعد در بطری را بسته شد سپس آن را روی شیکر دیجیتال در داخل انکوباتور با دمای ۲۰ درجه سانتی‌گراد قرار داده شد و پس از تنظیمات لازم به صورت روزانه BOD را گزارش گردید.

### روش اندازه‌گیری COD

آماده‌سازی نمونه: ابتدا نمونه‌ها را در ظروف شیشه‌ای جمع‌آوری گردید، سپس برای آنالیز ۲۴ ساعت بعد از نمونه‌گیری، نمونه‌ها در دمای ۴ درجه سانتی‌گراد نگهداری شدند. یا نمونه را در دمای فوق  $pH < 2$  با اضافه کردن اسید سولفوریک غلیظ تا ۲۸ روز نگهداری گردید. و به ازای هر لیتر نمونه  $2\text{ ml}$  اسید سولفوریک غلیظ اضافه شد. اگر نمونه‌ها دارای مواد معلق باشند، باهم زدن و یکنواخت سازی نمونه را جهت آزمایش آمده نموده و با اندازه‌گیری  $pH$  نمونه، با افزودن اسید سولفوریک در بازه  $6/5$  تا  $7/5$  تنظیم گردید.

### اندازه‌گیری کلیفرم

کلیفرم‌های گرمایی در پساب را بهوسیله کشت در محیط مایع به روش چند لوله‌ای و محاسبه بیشترین تعداد احتمالی آن‌ها در نمونه انجام گرفت. منظور از کلیفرم‌ها، میکروارگانیسم‌هایی هستند که می‌توانند در شرایط هوایی در دمای  $34/5$  تا  $35/5$  درجه سلسیوس در محیط مایع حاوی لاکتوز رشد کرده و در مدت ۴۸ ساعت تولید اسید و گاز کنند. کلیفرم‌های گرمایی هستند که

<sup>2</sup>Presumptive test

<sup>3</sup>. Confirmatory test

<sup>4</sup> Completed test

1. Most Probable Number

(MPN/100ml). مقادیر MPN برای انواع روش‌ها، با ترکیبی از لوله‌های مثبت و منفی، در ادامه در بحث و نتایج نشان داده شده است. این ارقام با در نظر گرفتن محدوده اطمینان ۹۵٪ برای هر MPN، محاسبه شده است. اگر حجم نمونه‌های تهیه شده در یک آزمایش همان مقادیری باشد که در جدول وجود دارند، می‌توان MPN مربوط به آن آزمایش را بحسب MPN/100ml و یا به صورت حضور یا عدم حضور کلیفرم‌ها، از جدول یافته و گزارش نمود. در حالی که جدول (۱) نتایج MPN برای ترکیبی از پاسخ‌های مثبت و منفی آزمایش ۱۵ لوله‌ای است که ۵ عدد آن حاوی ۱۰ میلی‌لیتر، ۵ عدد یک میلی‌لیتر و ۵ عدد آخر دارای ۱/۰ میلی‌لیتر از نمونه موردنرسی است. زمانی که رقت‌های ددهی، متفاوت از رقت‌های ارائه شده در جدول باشد، برای انتخاب این سه گروه، بالاترین میزان رقت (یا رقیق‌ترین نمونه) که هر ۵ لوله آن پاسخ مثبت به آزمایش داده است بهمراه دو گروه بعدی از لوله‌ها که به ترتیب رقیق‌تر هستند در نظر گرفته می‌شود. میزان MPN را برای ترکیبی از نتایج مثبت، انتخاب شده و محاسبه بر اساس رابطه (۱) صورت می‌گیرد.

$$\frac{MPN}{100mL} = (Table\ MPN / 100mL) \times 10/V \quad (1)$$

$V$  = حجمی از یک نمونه در کمترین رقت انتخاب شده، همچنین در مواردی که ترکیب لوله‌های مثبت، موجود نباشد، برای محاسبه MPN می‌توان از فرمول ساده توامس (Thomas) به شرح ذیل استفاده نمود رابطه (۲):

$$\frac{MPN}{100\ mL} = 100 \times P / (N \times T)^{1/2} \quad (2)$$

$P$  = تعداد لوله‌های مثبت،  $N$  = حجم کل نمونه‌های منفی،  $T$  = حجم کل نمونه‌ها. اگرچه جداول MPN و محاسبات مرتبط با آن‌ها برای آزمایش کلیفرم‌ها شرح داده شده است، لیکن تعیین MPN هر ارگانیسم دیگری که محیط کشت مناسب برای آن تعریف شده باشد، با این روش مقدور است. چنانچه موارد دیگری به‌غیر از احتمالات اشاره شده به

است به اشکال زیر در دسترس باشد: گاز کلر، از نظر اقتصادی به صرفه‌تر می‌باشد ولی از نظر خطرات ایمنی و بهداشتی پرخطر می‌باشد ولی پرکلرین، آب ژاول، هر دو روش مقرر به صرفه نمی‌باشد ولی خطرات کمتر می‌باشد. و چون روش‌های ذکر شده مقرر به صرفه نمی‌باشد، در تصفیه خانه فاضلاب لجن فعال اراک به روش کلرزنی گازی گندزدایی صورت گرفت. مرحله کلرزنی بعد از اینکه فرایند بیولوژیکی در حوض هوادهی صورت گیرد و آلوگی‌ها حذف شوند، پساب در حوض تهشیینی ثانویه به حد استاندار تصویه گردد، وارد حوض کلرزنی شده و کلر توسط دستگاه کلر زن به صورت گازی تزریق می‌گردد و به مدت ۲۰ تا ۳۰ دقیقه زمان مانند کلر در حوض کلرزنی می‌باشد تا حذف کامل میکروبی صورت بگیرد و درنهایت از خروجی نهایی نمونه گرفته شده و میزان کلر باقیمانده نیز اندازه‌گیری می‌شود.

### آزمون MPN

یک گروه از لوله‌ها با رقت‌های اعشاری از نمونه پساب (مضاربی از ۱۰ و زیر ۱۰ میلی‌لیتر) بر اساس تراکم احتمالی کلیفرم تهیه و طی مراحل احتمالی و تأییدی در روش چند لوله‌ای استفاده گردید. به‌طورکلی هدف از آزمایش پساب، برآورد شدت آلوگی باکتریایی، تعیین منبع آلوگی، اجرای استانداردهای کیفی پساب و یا ردیابی نحوه بقای میکروارگانیسم‌ها می‌باشد. با روش تخمیر چند لوله‌ای، می‌توان برآوردهای معتبری بر اساس MPN<sup>۵</sup> برای تراکم کلیفرم‌ها به دست آورد. برای این کار تعداد کافی نمونه باید آزمایش شوند تا نتایج آن‌ها، نماینده واقعی وضعیت منبع مورد بررسی باشد. به طور کلی میانگین هندسی یا عدد میانه از نتایج آزمایش تعدادی نمونه، رقمی را ارائه می‌کرد که در آن تأثیر تغییرات، در شرایط نمونه‌های برداشته شده، به حداقل رسیده بودند.

### جدول محاسبه و ثبت M

غلظت یا تراکم کلیفرم‌ها، به عنوان محتمل‌ترین تعداد (MPN) در ۱۰۰ میلی‌لیتر نمونه ثبت می‌شود

معادل mol/l<sup>-1</sup> است. pH نقطه خنثی وابسته به دماست و در صفر درجه برابر 7,5 و در 60°C مساوی 6/5 است. pH آب‌های طبیعی در محدوده 4 تا 9 قرار می‌گیرد و این آب‌ها به علت حضور بیکربنات‌ها و کربنات‌ها و فلزات قلیایی و قلیایی خاکی کمی قلیایی هستند.

#### روش اندازه‌گیری TDS (کل جامدات معلق)

تجهیزات: ۱) آون برای ایجاد دمای ۱۰۵ تا ۱۰۳ درجه سانتی‌گراد ۲) دسیکاتور حاوی ماده نمک‌گیر (۳) ترازو و دقیق پادقت ۰/۰۱ میلی‌گرم (۴) همزن مغناطیسی باروکش تفلون (۵) پیپت‌های ژوژه و مدرج. دستگاه صاف کننده (صفی با فیلتر غشایی). ۶) ارلن خلا (۷) پمپ خلا الکتریکی (۸) گیره فلزی (۹) کاغذ صافی ۲ میکرون یا کوچکتر. واکنش‌گرها و مواد مصرفی: ۱) سیلیکاژل. آب مقطر نمونه‌برداری و نگهداری: از ظروف شیشه‌ای مقاوم یا پلاستیکی تمیز استفاده شود که مواد معلق به دیواره آن نچسبد. آزمایش باید سریعاً انجام شود چون تثبت نمونه امکان‌پذیر نیست. نمونه هارا تا زمان آزمایش در دمای ۴ درج سانتی‌گراد نگهداری شوند تا تجزیه میکروبی میکروبیولوژیکی جامدات به حداقل برسد. باید سعی گردد که نمونه هاتا ۲۴ ساعت پس از نمونه‌برداری آزمایش شوند. در هیچ شرایطی نباید نمونه را بیش از ۷ روز نگه داشت. نمونه‌ها می‌بایست پیش از آزمایش به دمای اتاق برسند. حجم موردنیاز نمونه ۲۰۰ سی سی نوع نمونه مرکب و لحظه‌ای می‌تواند باشد.

(۹)

$$TDS = \frac{1000 * (WEFP)(mg) - ((WFP)(mg) + WDR(mg))}{\text{Sample size taken}}$$

WFP: وزن کاغذ صافی خالی بر حسب میلی‌گرم، وزن کاغذ صافی خالی بر حسب میلی‌گرم، Sample size taken: حجم نمونه برداشتی. دستورالعمل تجهیزات: ۱) آون ۲) ترازو (۳) پمپ الکتریکی.

#### نتایج و بحث

##### تفسیر نتایج آزمون MPN

خلاصه مراحل آزمایش احتمالی، تأییدی و تکمیلی

دفعات زیاد (بیش از یک درصد موارد) تکرار شد نشانگر خطأ است. زمانی که ترکیبی از لوله‌ها مثبت یافت شود MPN روش و یا فرضیات آماری مرتبط با را از فرمول ساده توماس به صورت رابطه (۳) محاسبه نمود:

(۳)

$$\frac{MPN}{100ml} = \frac{\text{Number of positive tubes} * 100}{\text{Volume in negative tubes}(ml) * \text{Sample volume in all tubes}(ml)}$$

#### روش اندازه‌گیری pH

آزمایش pH یکی از مهم‌ترین و متداول‌ترین آزمودن‌های آزمایش در شیمی آب است. در اندازه‌گیری pH اکسید کربن، قلیائیت و دیگر تعادل‌های اسید و باز نیز کاربرد دارد. در یک دمای معین شدت اسیدی یا قلیائی بودن یک محلول از راه تعیین pH یا فعالیت یون هیدروژن موجود در نمونه مشخص می‌شود. قلیائیت و اسیدیته یک نمونه آب عبارت از ظرفیت آن برای خنثی‌سازی اسید و باز بوده و بر حسب mg/l کربنات کلسیم بیان می‌شود. ظرفیت بافری یک سیستم آبی مقدار اسید یا باز قوی (بر حسب mol/l) است که بتواند pH یک لیتر از نمونه را به اندازه Sorenson تعريف شده و برابر است با  $\text{Log}[\text{H}^+]$ . بیانگر قدرت عامل اسیدی است. آب خالص خیلی کم یونیزه می‌شود و در حالت تعادل یون‌های تولیدشده آن عبارتند از:

$$[\text{OH}^-] = \text{kw} = 10^{-14} \text{ at } 25^\circ\text{C} [\text{H}^+] \quad (4)$$

$$[\text{H}^+] = [\text{OH}^-] = 1.005 \times 10^{-7} \quad (5)$$

$[\text{H}^+]$ : غلظت یون‌های هیدروژن mol/l،  $[\text{OH}^-]$ : غلظت یون‌های هیدروکسیل mol/l،  $\text{Kw}$ : ثابت یونیزاسیون به علت برهم‌کنش‌های یونی در همه محلول‌ها به جز محلول‌های رقیق به جای استفاده از غلظت از فعالیت یونی استفاده می‌شود.

$$\text{PH} + \text{POH} = \text{PKw} \quad (6)$$

$$\text{PH} = -\text{Log} a \text{ H}^+ \quad (7)$$

$$\text{POH} = -\text{Log} a \text{ OH}^- \quad (8)$$

در ۲۵°C pH ۷ محلول خنثی است یعنی فعالیت یون‌های هیدروکسیل و هیدروژن باهم برابر بوده و هر کدام

نتایج مثبت آزمایش ۳ گروه لوله ۱، ۰/۱ و ۱۰ میلی لیتری برای پاسخ ترکیبی از پاسخ‌های مثبت MPN مثبت به تعداد زیادی از لوله ۱۰ میلی لیتری است.

برای شناسایی کلیفرم کل: ایجاد واکنش اسیدی یا تولید گاز پس از  $48\pm 3$  ساعت، بیانگر پاسخ مثبت به آزمایش احتمالی بود. عدم واکنش اسیدی یا تولید گاز پس از  $48\pm 3$  ساعت، بیانگر نتیجه منفی بود. اعداد جدول (۵) مربوط به

جدول ۱- شاخص MPN و دامنه اطمینان ۹۵٪ برای ترکیب انواع گوناگون لوله‌های مثبت، زمانی که سه گروه لوله ۵ تایی در هر رقت (10 ML, 1.0 ML, 0.1 ML) استفاده شده باشد.

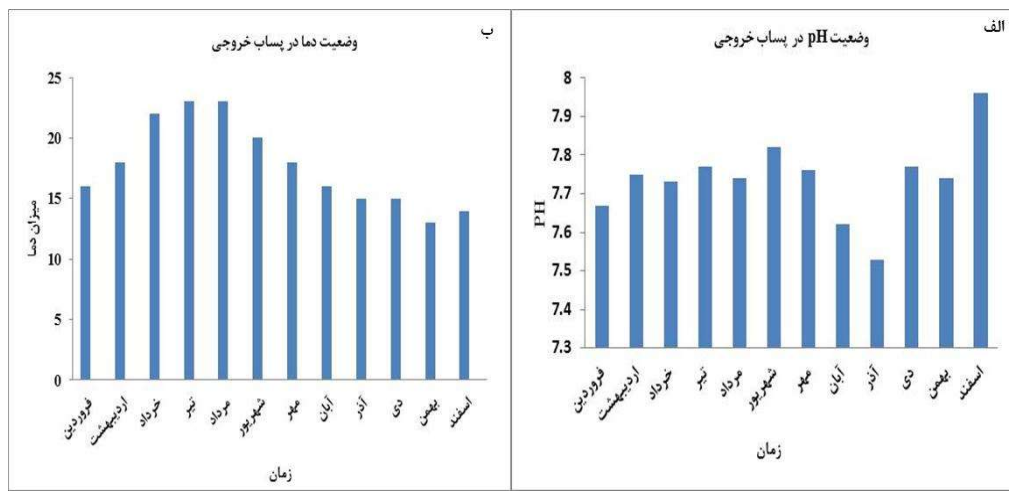
دامنه اطمینان ۹۵٪		ترکیب لوله‌های مثبت	دامنه اطمینان ۹۵٪		ترکیب لوله‌های مثبت
حداکثر	حداقل		حداکثر	حداقل	
۷۰	۹/۸	۲۵	۴-۰-۳	۶/۸	-
۴۰	۶/۰	۱۷	۴-۱-۰	۶/۸	۰/۰۹۰
۴۲	۶/۸	۲۱	۴-۱-۱	۶/۹	۰/۰۹۰
۷۰	۹/۸	۲۶	۴-۱-۲	۱۰	۰/۷۰
۷۰	۱۰	۳۱	۴-۱-۳	۱۰	۰/۰۷۰
۵۰	۶/۸	۲۲	۴-۲-۰	۱۵	۱/۸
۷۰	۹/۸	۲۶	۴-۲-۱	۱۵	۱/۸
۷۰	۱۰	۳۲	۴-۲-۲	۱۰	۰/۱۰
۱۰۰	۱۴	۳۸	۴-۲-۳	۱۰	۰/۰۷۰
۷۰	۹/۹	۲۷	۴-۳-۰	۱۵	۱/۸
۷۰	۱۰	۳۳	۴-۳-۱	۱۲	۰/۰۷۱
۱۰۰	۱۴	۳۹	۴-۳-۲	۱۵	۱/۸
۱۰۰	۱۴	۳۴	۴-۴-۰	۲۲	۳/۴
۱۰۰	۱۴	۴۰	۴-۴-۱	۲۲	۱/۸
۱۲۰	۱۵	۴۷	۴-۴-۲	۲۲	۳/۴
۱۰۰	۱۴	۴۱	۴-۵-۰	۲۲	۳/۴
۱۲۰	۱۵	۴۸	۴-۵-۱	۱۵	۳/۵
۷۰	۶/۸	۲۳	۵-۰-۰	۱۵	۳/۵
۷۰	۱۰	۳۱	۵-۰-۱	۲۲	۰/۰۷۹
۱۰۰	۱۴	۴۳	۵-۰-۲	۱۷	۱/۸
۱۵۰	۲۲	۵۸	۵-۰-۳	۲۲	۳/۴
۱۰۰	۱۰	۳۳	۵-۱-۰	۲۶	۱/۸
۱۲۰	۱۴	۴۶	۵-۱-۱	۲۲	۳/۴
۱۵۰	۲۲	۶۳	۵-۱-۲	۲۶	۴/۱
۲۲۰	۳۴	۸۴	۵-۱-۳	۲۶	۳/۴
۱۵۰	۱۵	۴۹	۵-۲-۰	۲۶	۴/۱
۱۷۰	۲۲	۷۰	۵-۲-۱	۳۶	۵/۹
۲۳۰	۳۴	۹۴	۵-۲-۲	۲۶	۴/۱
۲۵۰	۳۶	۱۲۰	۵-۲-۳	۳۶	۵/۹
۴۰۰	۵۸	۱۵۰	۵-۲-۴	۳۶	۵/۹
۲۲۰	۲۲	۷۹	۵-۳-۰	۲۲	۲/۱
۲۵۰	۳۴	۱۱۰	۵-۳-۱	۲۳	۳/۵
۴۰۰	۵۲	۱۴۰	۵-۳-۲	۳۵	۵/۶

۴۰۰	۷۰	۱۷۰	۵-۳-۳	۲۶	۳/۵	۱۱	۳-۱-۰
۴۰۰	۷۰	۲۱۰	۵-۳-۴	۳۶	۵/۶	۱۴	۳-۱-۱
۴۰۰	۳۶	۱۳۰	۵-۴-۰	۳۶	۶/۰	۱۷	۳-۱-۲
۴۰۰	۵۸	۱۷۰	۵-۴-۱	۳۶	۵/۷	۱۴	۳-۲-۰
۴۴۰	۷۰	۲۲۰	۵-۴-۲	۴۰	۶/۸	۱۷	۳-۲-۱
۷۱۰	۱۰۰	۲۸۰	۵-۴-۳	۴۰	۶/۸	۲۰	۳-۲-۲
۷۱۰	۱۰۰	۳۵۰	۵-۴-۴	۴۰	۶/۸	۱۷	۳-۳-۰
۱۱۰۰	۱۵۰	۴۳۰	۵-۴-۵	۴۰	۶/۸	۲۱	۳-۳-۱
۷۱۰	۷۰	۲۴۰	۵-۵-۰	۷۰	۹/۸	۲۴	۳-۳-۲
۱۱۰۰	۱۰۰	۳۵۰	۵-۵-۱	۴۰	۶/۸	۲۱	۳-۴-۰
۱۷۰۰	۱۵۰	۵۴۰	۵-۵-۲	۷۰	۹/۸	۲۴	۳-۴-۱
۲۶۰۰	۲۲۰	۹۲۰	۵-۵-۳	۷۰	۹/۸	۲۵	۳-۵-۰
۴۶۰۰	۴۰۰	۱۶۰۰	۵-۵-۴	۳۵	۴/۱	۱۳	۴-۰-۰
-	۷۰۰	بیشتر از ۱۶۰۰	۵-۵-۵	۳۶	۵/۹	۱۷	۴-۰-۱
				۴۰	۶/۸	۲۱	۴-۰-۲

### نتایج تحلیل آماری پارامترهای

طرفی افزایش دما منجر با کاهش اکسیژن آب شده است که این موضوع به نوبه خود باعث ایجاد آلودگی حرارتی و کاهش کیفیت آب خروجی شده که در نتیجه این موضوع تصفیه فاضلاب با توجه به مقرنون به صرفه‌ترین و بهینه‌ترین روش امری اجتناب ناپذیر می‌باشد. لذا تأثیر دما بر فرایند لجن فعلی بسیار عمدۀ بوده و بر فرایند ته نشینی و بهبود لخته شدن بسیار مؤثر می‌باشد. این تأثیر باعث ایجاد تغییرات فیزیکی و میکروبی در ساختار و ذره‌ی لخته و میزان ته نشینی جامدات ثانویه می‌شود. که این تغییرات دمایی در بازه‌های مختلف بر فرایندهای باکتریایی، لخته شدن یا کواگولاسیون و حذف میزان قابل توجهی از BOD اثرات خود را نشان می‌دهد. از طرفی هرچه دمای فاضلاب کاهش و بسمت سردی میل کند، فاضلاب چگالت‌ر شد و مراحل انعقاد یا همان لخته شدگی به‌کندی صورت می‌پذیرد.

نتایج حاصل از آنالیز نمونه‌ها برای پارامترهای pH، COD، BOD، دما و کلیفرم کل و گوارشی در شکل‌های (۳) تا (۵) نشان داده شده است. همچنین نتایج حاصل از آزمون چندگانه در جدول (۲) ارائه شده است. نتایج حاصل نشان داد که متوسط pH در پساب خروجی تصفیه خانه ۷/۷۳ بوده است و بیشترین مقدار آن در ماه اسفند که این مقدار ۸ و کمترین آن در ماه آذر ۷/۵ بوده است که در این ماه pH در وضعیت نرمال قرار داشته و در سایر ماه‌ها به سمت قلیائی بودن گرایش پیدا کرده است. طبق استاندارد سازمان محیط زیست ایران، مقدار مجاز پارامتر pH در پساب خروجی از قرار ۶/۵ تا ۸/۵ می‌باشد. متوسط دما در پساب خروجی ۱۷/۹ و مینیمم آن ۱۰/۵ و ماکزیمم آن ۲۵/۷ درجه سانتیگراد بوده است. نتایج حاصل از دمای فاضلاب با دمای محیط نشان می‌دهد که دما فاضلاب همواره بالاتر از دمای محیط بوده است. از



شکل ۳- وضعیت pH (الف) و دما (ب) در پساب خروجی تصفیه خانه

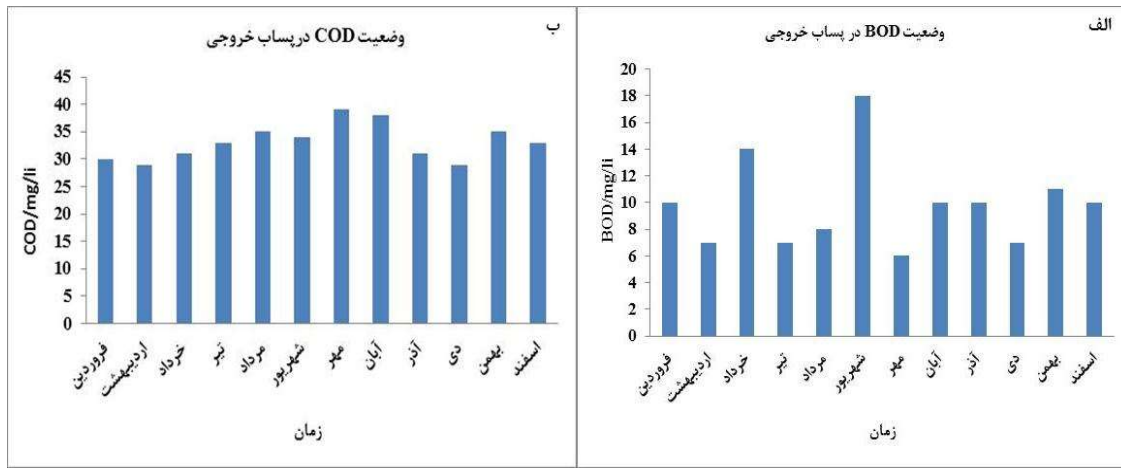
است. همچنین نتایج حاصل از کل مواد جامد معلق TSS و کل جامدات محلول TDS نشان داد که این شاخص‌ها دارای استاندارد کیفی لازم جهت شرب بوده‌اند.

آنالیز تعیین COD یا میزان اکسیژن خواهی شیمیایی از مهمترین پارامترهای نشان دهنده کیفیت آب است. در حقیقت میزان اکسیژن خواهی شیمیایی روشی غیر مستقیم برای تخمین میزان آلوگر و آلاینده‌ای آب است. هر چه میزان COD بیشتر باشد، به این معنی است که میزان آلاینده‌ای بیشتر است. نتایج حاصل از وضعیت COD نشان می‌دهد که متوسط COD برابر با  $\frac{33}{3}$  میلی‌گرم در لیتر، بیشترین و کمترین مقدار آن بترتیب ۴۸ و  $\frac{19}{2}$  میلی‌گرم در لیتر می‌باشد، در خصوص متوسط ماهها بیشترین میزان COD در پساب خروجی فاضلاب در ماه مهر یعنی  $\frac{40}{4}$  میلی‌گرم در لیتر و کمترین آن در دی ماه یعنی  $\frac{25}{5}$  میلی‌گرم در لیتر می‌باشد. در نتیجه هر چه میزان آلاینده‌ای بیشتر باشد مقدار اکسیژن لازم نیز بیشتر است بعبارتی می‌توان گفت که بیشترین میزان آلوگر در ماه مهر و کمترین در دی ماه می‌باشد شکل (۴-ب). در خصوص میزان اکسیژن خواهی شیمیایی فاضلاب یعنی COD مقدار آن در فصول بهار، تابستان، پاییز و زمستان بترتیب  $\frac{22}{67}$ ،  $\frac{22}{69}$ ،  $\frac{22}{72}$  و  $\frac{26}{27}$  درصد بوده است. که بیشترین میزان COD در فصل زمستان بوده و بیشترین مقدار آن در ماه مهر  $\frac{39}{lit}$  و کمترین آن در ماه اردیبهشت  $\frac{29}{lit}$  بوده است. نتایج حاصل نشان داد که وضعیت میزان COD در

براساس نتایج حاصل از BOD متوسط در پساب خروجی فاضلاب  $\frac{10}{4}$  ، مینیمم و ماکزیمم مقدار آن بترتیب ۴ و ۳۰ میلی‌گرم در لیتر بوده است. نتایج حاصل نشان می‌دهد که متوسط BOD در شهریورماه در بالاترین مقدار یعنی ۱۸ میلی‌گرم در لیتر و در مهرماه در کمترین مقدار یعنی ۶ میلی‌گرم در لیتر می‌باشد. در نتیجه این تست می‌توان مقدار اکسیژن مورد نیاز تصفیه خانه‌ها اندازه‌گیری و از طریق هوده‌ی وارد آب نمود. تغییرات مقدار BOD اندازه‌گیری شده در پساب خروجی تصفیه خانه‌ی لجن فعال فاضلاب ارک بیانگر تغییر در اکسیداسیون توسط این پارامتر می‌باشد، در نتیجه این تجزیه و اکسیده شدن، اکسیژن موجود در آب تغییر می‌کند که به تبع آن میزان خودپایایی توسط این پارامتر تغییر می‌کند. بیشترین حذف BOD در زمستان و کمترین آن در تابستان صورت می‌گیرد شکل (۴-الف). در خصوص اکسیژن مورد نیاز بیولوژیکی یا BOD مقدار آن در فصول بهار، تابستان، پاییز و زمستان بترتیب  $\frac{22}{72}$ ،  $\frac{27}{96}$ ،  $\frac{26}{27}$  و  $\frac{22}{67}$  درصد بوده است. که بیشترین میزان آن در فصل پاییز و بیشترین مقدار ماهانه آن در شهریورماه و مقدار آن  $18mg/lit$  بوده است. نتایج حاصل داد که وضعیت میزان BOD در پساب خروجی فاضلاب برای آبهای سطحی، چاههای جذبی و مزارع کشاورزی همانند میزان COD در محدوده مجاز قرار داشته است. نتایج حاصل از پارامترهای مذکور نشان داد که تصفیه خانه جهت حذف پارامترها با روش MLE موفق عمل نموده

مطلوبی از این حیث را دارا بوده است.

پساب خروجی فاضلاب برای آبهای سطحی، چاههای جذبی و مزارع کشاورزی در محدوده مجاز قرار داشته و شرایط



شکل ۴- وضعیت COD (الف) و BOD (ب) در پساب خروجی تصفیه خانه

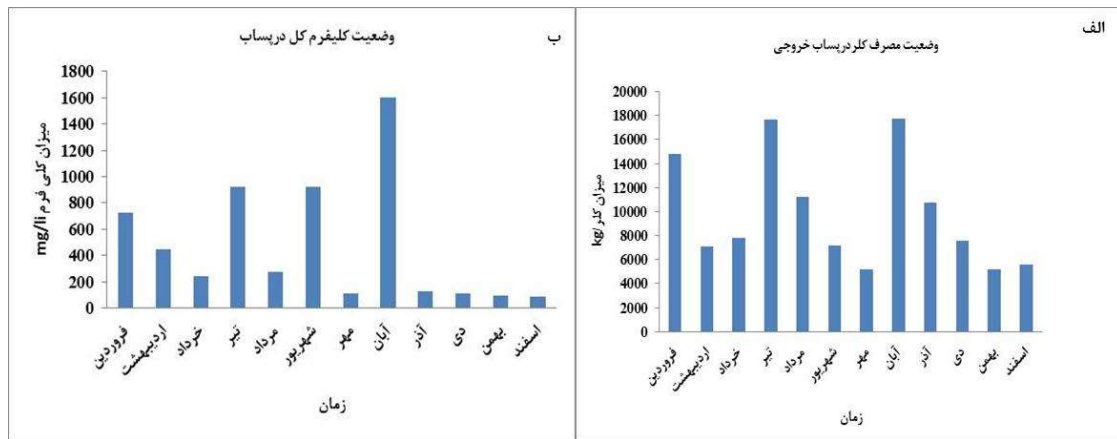
میزان ۱۴/۹۷ بوده است. یعنی از کل کل مصرفی ۶۱۱۶/۳۹ کیلوگرم آن در فصل تابستان مصرف شده است که از این میزان ۲۹۹۳/۰۱ کیلوگرم مربوط به تیرماه بوده است و متوسط مصرف کلر در هر هفته از فصل تابستان ۵۰۹/۶۹ کیلوگرم بوده است. در فصل پاییز میزان کل مصرفی نسبت به فصل بهار بصورت افزایشی بود و نسبت به فصل تابستان کاهش یافته است بطوریکه این میزان در فصل پاییز ۲۸/۵۷ درصد بوده است که از این میزان ۱۵/۰۵ درصد مربوط به ماه آبان بوده است یعنی میزان کلر مصرفی در فصل پاییز ۵۷۱۴/۶۰ کیلوگرم بوده است بطوریکه متوسط هفتگی مصرف کلر در فصل پاییز ۴۷۶/۲۱ کیلوگرم بوده است. کمترین میزان مصرف کلر نسبت به سایر فصول مربوط به فصل زمستان بوده است که این میزان ۱۵/۶۲ درصد بوده است بطوریکه بیشترین میزان در این فصل مربوط به دی ماه بوده است که این میزان در فصل زمستان ۳۱۲۳/۳۸ کیلوگرم بوده است و متوسط مصرف هفتگی در این فصل ۲۶۰/۲۸ کیلوگرم بوده است. همانطور که از نتایج میزان کل مصرفی در ماههای مختلف استنباط می‌شود، میزان مصرف کلر در فصول گرم سال بیشتر از فصول سرد بوده است که این میزان افزایش تغییرات ناشی از افزایش نسبی دما بوده است. همچنین نتایج حاصل از مصرف بهینه کلر نشان داد

با اندازه‌گیری از طریق کلر سنجی، میزان کلر باقیمانده و آزمون میکروبی، میزان کپسول کلر یا اینکه بر اساس دبی خروجی پساب، دما، pH، COD، BOD و...در ماههای مختلف سال به مقدار کلرخواهی پساب دست پیدا کرد. در شکل (۵-الف) وضعیت مصرف کلر در پساب خروجی نشان داده شده است، بیشترین میزان مصرف در ماههای تیر و آبان و کمترین آن در ماه مهر بوده است. با توجه به نوسانات مصرف در طول شبانه روز، میزان تزریق کلر به صورت متغیر در مخزن در ساعات مختلف شبانه روز به عنوان یکی از گرینه های عملیاتی درنظر گرفته شده است. که این میزان مصرف در روزهای مختلف با توجه به شرایط آب و هوایی باعث شده است که میزان کلر مصرفی در برخی ماهها بیشتر از ماههای دیگر باشد. از میزان کلر مصرفی کل، ۲۵/۲۳ درصد ۱۲/۵۶ درصد مربوط به ماه بهار بوده است که از این میزان ۱۲/۵۶ درصد مربوط به ده فروردین بوده است. یعنی میزان کلر مصرفی در فصل بهار ۲۵۱۲/۳ کیلوگرم بوده است که از این میزان ۵۰۴۵/۶۲ کیلوگرم آن مربوط به ماه فروردین بوده است. که بطوریکه در فصل بهار بطور متوسط هر هفته ۴۲۰/۴۶ کیلوگرم کلر جهت کلر زنی استفاده شده است. در فصل تابستان این میزان مصرف ۳۰/۵۸ درصد از مصرف کل کل افزایش یافته بطوریکه بیشترین میزان مصرف آن در تیرماه و به

داد که متوسط کلیفرم کل ۵۱۳ و بیشترین و کمترین مقدار آن ۱۶۰۰ و ۱۰۰ می‌باشد، شکل (۵-ب) وضعیت کلیفرم کل در پساب خروجی را نشان می‌دهد. تولید رادیکال‌های آزاد آب با افزایش زمان واکنش افزایش یافته از اینرو در فراین تصفیه فاضلاب با زمان اثر پرتو فرابینفش جهت از بین بردن اشريشيا (کلیفرم) افزایش می‌یابد اما حذف فتوکاتالیستي آن با افزایش تعداد اوليه کلیفرم‌ها کاهش می‌یابد. طبق مطالعات صورت گرفته فرایند حذف کلیفرم‌ها در محیط‌های آبی با استفاده از پرتو فرابینفش یک روش مؤثر در حذف آنها در محیط‌های آبی می‌باشد.

که با استفاده از سعی و خطا در هفتاهای مختلف به مقدار بهینه مصرف کلر در تصفیه خانه دست یافت. که این میزان ۱۵۰۰۰-۲۰۰۰۰ کیلوگرم در سال بوده است. بطوریکه هم جنبه‌های کیفی آب شرب را لحاظ بهداشتی و زیست محیطی که خطراتی برای استفاده کنندگان را نداشته باشد و هم جنبه‌های مدیریتی و اقتصادی مصرف بهینه کلر لحاظ شده است.

تشخیص کلیفرم به عنوان شاخص کیفیت بهداشتی آب یا به عنوان شاخص کلی وضعیت بهداشتی در محیط فرآوری مواد غذایی استفاده می‌شود. نتایج حاصل از اندازه گیری کلیفرم در پساب خروجی فاضلاب تصفیه خانه نشان



شکل ۵- وضعیت مصرف کلر (الف) و کلیفرم کل (ب) در پساب خروجی تصفیه خانه

نژاد (۱۳۹۸)، مطابقت دارد، نتایج حاصل از تحقیق آنها نشان داد که آنالیز واریانس، نشان داد که بین میزان کارایی در فصول مختلف سال تفاوت معنی‌داری در بین تالابهای مختلف وجود دارد به نحوی که بیشترین کارایی در فصل تابستان و در تالاب لوئی دیده می‌شود. که نتایج حاصل در این تحقیق از لحاظ آماری بین متغیرهای کیفی مختلف صورت گرفته است. همچنین در بخش کلر زنی نتایج حاصل از این تحقیق با نتایج ذو نعمت کرمانی، جمالی زاده و چرمهینه (۱۳۹۷)، مطابقت دارد، آنها در تحقیق‌شان مدیریت مناسب غلطت کلر را با توجه به غلطت کل باقیمانده، در شبکه آبرسانی اعمال نمودند و در این تحقیق نیز میزان مصرف بهینه کلر در تصفیه خانه فاضلاب ارک

در ادامه تحلیل نتایج از طریق روش آماری (ضرایب همبستگی، پیرسون، و نمودار رگرسیون) مورد بررسی قرار خواهد گرفت. جدول (۲) تحلیل آماری پارامترهای مختلف فرایند تصفیه فاضلاب در مراحل تصفیه کلرزنی را نشان می‌دهد. نتایج حاصل از تحلیل آماری برای متغیرهای مستقل براساس آزمون<sup>۱</sup> LSD (حداقل اختلاف معنی دار)، مطابق آنچه که در جدول (۲) ارائه شده است اختلاف میانیگین برای پارامتر دما در سطوح مختلف بررسی شده معنی‌دار بوده و نتایج مربوط به سایر پارامترها، گردیده است (بررسی معنی داری در سطح اطمینان ۹۵٪). نتایج حاصل از این بخش از تحقیق با نتایج لطفی و مامقانی

1. LSD (Least Significant Difference)

بخش با نتایج انوری (۱۳۹۷)، مطابقت دارد. ایشان در تحقیق خود با استفاده از روش‌های مختلف بهینه سازی مصرف کلر به این نتیجه رسیدند که با استفاده از مدل بهینه سازی چند هدفه می‌توان با مصرف کلر کمتر در شباهنگ روز به شاخص اطمینان کیفی بیشتری دست یافت در حالیکه در این تحقیق با استفاده از روش‌های آزمایشگاهی و تجربی به میزان مصرف بهینه کلر رسیده شد. همچنین نتایج آزمایشات صورت گرفته در این پژوهش با نتایج آزمایشگاهی تحقیق صورت گرفته توسط پارسامنش (۱۳۹۱)، در تصفیه-خانه فاضلاب شهر اراک به روش برکه‌ی تثبیت و از حیث راندمان حذف آنها در پساب خروجی مطابقت دارد.

بررسی گردید. در خصوص حذف  $BOD_5$ ، COD و TSS نتایج این بخش از تحقیق مشابه نتایج حاصل از تحقیقات خلیلی و همکاران (۱۳۹۳)، بوده است که آنها در نتایج خود به افزایش حذف  $BOD_5$  و COD از ۴۰ درصد به ۶۰ درصد و حذف TSS از ۷۰ درصد به ۹۶ درصد دست یافتنند. در خصوص نتایج حاصل از MLE نتایج حاصل از این بخش با نتایج ترکان ترکان (۱۳۹۷)، مطابقت دارد که نتایج تحقیقا آنها نیز نشان داد که فرایند MLE در فصل پاییز ۱۳۹۶ توانسته مقدار  $BOD_5$  در پساب خروجی تا ۹۱/۹۸ COD را تا ۹۱/۲ درصد و TSS را تا ۸۹/۹۲ درصد حذف نماید مطابقت دارد. در بخش بهینه سازی نتایج حاصل از این

جدول ۲- مقایسه چندگانه پارامترهای بررسی شده در تصفیه فاضلاب با استفاده از آزمون حداقل اختلاف معنی‌دار (LSD)

Dependent Variable	(I) VAR	(J) VAR	Mean Difference (I-J)	Std. Error	Sig.	95% Confidence Interval	
	00010	00010				Lower Bound	Upper Bound
T	۲	۱	-۳/۳۶۱۵۴*	.۰/۸۶۴۷۶	.۰/۰۰۰	-۵/۱۰۸۰	-۱/۶۱۵۱
	۱	۳	۲/۳۷۵۵۲*	.۰/۹۰۳۲۲	.۰/۰۱۲	.۰/۵۵۱۴	۴/۱۹۹۶
	۴		۳/۷۰۹۶۲*	.۰/۹۹۰۷۱	.۰/۰۰۱	۱/۷۰۸۸	۵/۷۱۰۴
	۱		۳/۳۶۱۵۴*	.۰/۸۶۴۷۶	.۰/۰۰۰	۱/۶۱۵۱	۵/۱۰۸۰
	۲	۳	۵/۷۳۷۰۶*	.۰/۹۰۳۲۲	.۰/۰۰۰	۳/۹۱۳۰	۷/۵۶۱۱
	۴		۷/۰۷۱۱۵*	.۰/۹۹۰۷۱	.۰/۰۰۰	.۵/۰۷۰۴	۹/۰۷۱۹
	۱		-۲/۳۷۵۵۲*	.۰/۹۰۳۲۲	.۰/۰۱۲	-۴/۱۹۹۶	-۰/۵۵۱۴
	۳	۲	-۵/۷۳۷۰۶*	.۰/۹۰۳۲۲	.۰/۰۰۰	-۷/۵۶۱۱	-۳/۹۱۳۰
	۴		۱/۳۳۴۰۹	.۱/۰۴۴۴۵	.۰/۲۰۰	-۰/۷۳۴۸	۳/۴۰۳۰
	۱		-۳/۰۹۶۲*	.۰/۹۹۰۷۱	.۰/۰۰۱	-۵/۷۱۰۴	-۱/۷۰۸۸
	۴	۲	۷/۰۷۱۱۵*	.۰/۹۹۰۷۱	.۰/۰۰۰	-۹/۰۷۱۹	-۵/۰۷۰۴
	۳		-۱/۳۴۴۰۹	.۱/۰۴۴۴۵	.۰/۲۰۰	-۳/۴۰۳۰	۰/۷۳۴۸
pH	۲		-۰/۰۷۱۵۴	.۰/۰۶۴۵۱	.۰/۲۷۴	-۰/۰۲۰۱۸	۰/۰۵۸۷
	۱	۳	.۰/۷۴۶۲	.۰/۰۶۷۳۸	.۰/۲۷۵	-۰/۰۶۱۵	۰/۲۱۰۷
	۴		-۰/۱۹۷۸۸*	.۰/۰۷۳۹۱	.۰/۰۱۱	-۰/۳۴۷۱	-۰/۰۴۸۶
	۱		.۰/۰۷۱۵۴	.۰/۰۶۴۵۱	.۰/۲۷۴	-۰/۰۸۵۷	۰/۲۰۱۸
	۲	۳	.۰/۱۴۶۱۵*	.۰/۰۶۷۳۸	.۰/۰۳۶	.۰/۰۱۰۱	۰/۲۸۲۲
	۴		-۰/۱۲۶۳۵	.۰/۰۷۳۹۱	.۰/۰۹۵	-۰/۲۷۵۶	۰/۰۲۲۹
	۱		-۰/۰۷۴۶۲	.۰/۰۶۷۳۸	.۰/۲۷۵	-۰/۲۱۰۷	۰/۰۶۱۵
	۳	۲	-۰/۱۴۶۱۵*	.۰/۰۶۷۳۸	.۰/۰۳۶	-۰/۲۸۲۲	-۰/۰۱۰۱
	۴		-۰/۰۷۷۲۵*	.۰/۰۷۶۴۳	.۰/۰۰۱	-۰/۴۲۶۸	-۰/۱۱۸۲
	۱		.۰/۱۹۷۸۸*	.۰/۰۷۳۹۱	.۰/۰۱۱	.۰/۰۴۸۶	۰/۳۴۷۱
	۲		.۰/۱۲۶۳۵	.۰/۰۷۳۹۱	.۰/۰۹۵	-۰/۰۲۲۹	۰/۲۷۵۶
	۴	۳	.۰/۲۷۲۵۰*	.۰/۰۷۶۴۳	.۰/۰۰۱	.۰/۱۱۸۲	۰/۴۲۶۸
	۲		-۰۵۹۸/۰۳۰۷۸۹*	۱/۰۵۹۴۲۱E۳	.۰/۰۰۴	-۹۲۸۶/۷۹۳۴	-۱۹۰۹/۸۲۲۰
	۴		-۰۴۲۱/۰۹۰۹۱*	۱/۸۸۸۵۹E۳	.۰/۰۰۶	-۹۲۳۵/۱۷۷۹	-۱۶۰۷/۰۰۳۹

ادامه جدول ۲- مقایسه چندگانه پارامترهای بررسی شده در تصفیه فاضلاب با استفاده از آزمون حداقل اختلاف معنی‌دار (LSD)

Dependent Variable	(I) تیمار		(J) تیمار		Mean Difference (I-J)	Std. Error	Sig.	95% Confidence Interval	
	VAR 00010	VAR 00010	VAR 00010	VAR 00010				Lower Bound	Upper Bound
	۱	۲	۳	۴	-۴/۵۳۸۴۶	۲/۵۳۲۲۷	.۰/۰۹۲	۹/۸۵۴۴-	.۰/۷۷۷۵
COD	۱	۳	*۶/۱۴۸۲۵-	۲/۷۴۹۳۱	.۰/۰۳۱	۱۱/۷۰۰۶-	.۰/۵۹۵۹-		
	۴	۱	۱/۳۴۷۱۲-	۳/۰۱۵۶۴	.۰/۶۵۷	۷/۴۳۷۳-	.۴/۷۴۳۱		
	۱	۲	۴/۵۳۸۴۶	۲/۵۳۲۲۷	.۰/۰۹۲	.۰/۷۷۷۵-	.۹/۸۵۴۴		
	۲	۳	۱/۶۰۹۷۹-	۲/۷۴۹۳۱	.۰/۰۶۱	-۷/۱۶۲۱-	.۳/۹۴۲۶		
	۴	۱	۳/۱۹۱۳۵	۳/۰۱۵۶۴	.۰/۲۹۶	۲/۸۹۸۹-	.۹/۲۸۱۶		
	۱	۴	*۶/۱۴۸۲۵	۲/۷۴۹۳۱	.۰/۰۳۱	.۰/۰۹۰۹	۱۱/۷۰۰۶		
	۳	۲	۱/۶۰۹۷۹	۲/۷۴۹۳۱	.۰/۰۶۱	۳/۹۴۲۶-	.۷/۱۶۲۱		
	۴	۳	۴/۸۰۱۱۴	۳/۱۱۸۳۳	.۰/۱۳۱	۱/۴۹۶۵-	.۱۱/۰۹۸۷		
	۳	۴	۱/۳۴۷۱۲	۳/۰۱۵۶۴	.۰/۶۵۷	۴/۷۴۳۱-	.۷/۴۳۷۳		
	۴	۴	۳/۱۹۱۳۵-	۳/۰۱۵۶۴	.۰/۲۹۶	۹/۲۸۱۶-	.۲/۸۹۸۹		
BOD	۳	۴	۴/۸۰۱۱۴-	۳/۱۱۸۳۳	.۰/۱۳۱	۱۱/۰۹۸۷-	.۱/۴۹۶۵		
	۲	۳	.۰/۷۶۹۲۳	۱/۰۳۵۴۱	.۰/۸۱۹	۲/۳۳۱۶-	.۳/۸۷۰۰		
	۱	۳	۱/۹۹۳۰۱	۱/۰۳۶۸	.۰/۲۲۱	۱/۱۴۵۷-	.۰/۲۳۱۷		
	۴	۱	۱/۰۳۸۴۶	۱/۰۷۵۹۰۳	.۰/۰۵۸	۲/۰۱۴۰-	.۴/۵۹۰۹		
	۱	۴	.۰/۷۶۹۲۳-	۱/۰۳۵۴۱	.۰/۸۱۹	۳/۸۷۰۰-	.۲/۳۳۱۶		
	۲	۳	۱/۲۲۳۷۸	۱/۰۳۶۸	.۰/۴۵۰	۲/۰۱۴۹-	.۴/۴۶۲۵		
	۴	۲	.۰/۲۶۹۲۳	۱/۰۷۵۹۰۳	.۰/۸۷۹	۳/۲۸۳۲-	.۳/۸۲۱۷		
	۱	۱	۱/۹۹۳۰۱-	۱/۰۳۶۸	.۰/۲۲۱	۰/۲۳۱۷-	.۱/۲۴۵۷		
	۳	۲	۱/۲۲۳۷۸-	۱/۰۳۶۸	.۰/۴۵۰	۴/۴۶۲۵-	.۲/۰۱۴۹		
	۴	۳	.۰/۹۵۴۵۵-	۱/۰۱۸۹۳	.۰/۶۰۳	۴/۶۲۷۹-	.۲/۷۱۸۹		
TSS	۱	۲	۱/۰۳۸۴۶-	۱/۰۷۵۹۰۳	.۰/۰۵۸	۴/۰۹۰۹-	.۲/۰۱۴۰		
	۴	۲	.۰/۲۶۹۲۳-	۱/۰۷۵۹۰۳	.۰/۸۷۹	۳/۰۲۱۷-	.۳/۲۸۳۲		
	۳	۴	.۰/۹۵۴۵۵	۱/۰۱۸۹۳	.۰/۶۰۳	۲/۷۱۸۹-	.۴/۶۲۷۹		
	۲	۳	*۰/۳۰۷۶۹-	۱/۰۳۵۲۴۶	.۰/۰۰۳	.۷/۰۳۹۰-	.۱/۰۷۶۳-		
	۱	۳	۲/۲۹۷۹۰-	۱/۰۴۱۲۶۰	.۰/۱۱۱	.۰/۱۵۰۷-	.۰/۰۵۴۹		
	۴	۱	*۰/۲۱۱۱۴-	۱/۰۴۹۹۴۴	.۰/۰۹۲	۳/۰۳۴۰۷-	.۲/۹۱۷۶		
	۱	۴	*۰/۳۰۷۶۹	۱/۰۳۵۲۴۶	۱/۰۳۵۲۴۶	۱/۰۵۷۶۳	.۷/۰۳۹۰-		
	۲	۳	۲/۰۰۹۷۹	۱/۰۴۱۲۶۰	.۰/۱۶۲	.۰/۰۴۳۰-	.۴/۸۶۲۶		
	۴	۲	*۰/۰۹۶۱۵	۱/۰۴۹۹۴۴	.۰/۰۱۲	.۰/۰۹۶۷۰	.۷/۰۲۲۰۳		
	۱	۲	۲/۰۰۹۷۹	۱/۰۴۱۲۶۰	.۰/۱۱۱	.۰/۰۵۴۹-	.۰/۱۵۰۷		
TDS	۳	۲	۲/۰۰۹۷۹-	۱/۰۴۱۲۶۰	.۰/۱۶۲	۴/۸۶۲۶-	.۰/۸۴۳۰-		
	۴	۲	۲/۰۰۸۶۳۶	۱/۰۰۲۲۰	.۰/۲۰۰	۱/۱۴۹۳-	.۰/۳۲۲۱		
	۱	۳	*۰/۲۱۱۱۴	۱/۰۴۹۹۴۴	.۰/۰۹۲	۲/۹۱۷۶-	.۳/۳۴۰۷		
	۴	۲	*۰/۰۹۶۱۵	۱/۰۴۹۹۴۴	.۰/۰۱۲	۷/۰۲۲۰۳-	.۰/۹۶۷۰-		
	۳	۲	۲/۰۰۸۶۳۶-	۱/۰۰۲۲۰	.۰/۲۰۰	.۰/۳۲۲۱-	۱/۱۴۹۳		
	۱	۴							

ادامه جدول ۲- مقایسه چندگانه پارامترهای بررسی شده در تصفیه فاضلاب با استفاده از آزمون حداقل اختلاف معنی دار (LSD)

Dependent Variable	(I) تیمار VAR 00010	(J) تیمار VAR 00010	Mean Difference (I-J)	Std. Error	Sig.	95% Confidence Interval	
	Lower Bound	Upper Bound					
Tcol	۱	۲	۳۲۶/۵۳۸۴۶-	.۲E1/۹۰۹۴۱	.۰۰۹۵	۷۱۲/۱۵۱۸-	۵۹/۷۴۹
	۱	۳	۴۹/۷۵۰۲۴-	.۲E1/۹۹۴۳۱	.۰۱۰۴	۴۵۲/۰۱۵۳-	۳۵۳/۰۰۴۸
	۴		*۴۴۷/۵۲۸۸۵	.۲E2/۱۸۷۵۱	.۰۰۴۷	۵/۷۵۳۲	۸۸۹/۳۰۴۴
	۱		۳۲۶/۵۳۸۴۶	.۲E1/۹۰۹۴۱	.۰۰۹۵	۵۹/۰۷۴۹-	۷۱۲/۱۵۱۸
	۲	۳	۲۷۶/۷۸۳۲۲	.۲E1/۹۹۴۳۱	.۰۱۷۳	۱۲۵/۹۷۶۸-	۶۷۹/۵۴۲۳
	۴		*۷۴۴/۰۶۷۳۱	.۲E2/۱۸۷۵۱	.۰۰۱	۳۲۲/۲۹۱۷	۱۲۱۵/۸۴۲۹
	۱		۴۹/۷۵۰۲۴	.۲E1/۹۹۴۳۱	.۰۱۰۴	۳۵۳/۰۰۴۸-	۴۵۲/۰۱۵۳
	۳	۲	-۲۷۶/۷۸۳۲۲	.۲E1/۹۹۴۳۱	.۰۱۷۳	۶۷۹/۵۴۲۳-	۹۷۶۸/۱۲۵
	۴		*۴۹۷/۲۸۴۰۹	.۲E2/۲۶۱۹۹	.۰۰۴۴	۴۰/۴۶۵۰	۹۵۴/۱۰۳۱
	۱		*۴۴۷/۵۲۸۸۵-	.۲E2/۱۸۷۵۱	.۰۰۴۷	-۸۸۹/۳۰۴۴	-۵/۷۵۳۲
	۴	۲	*۷۴۴/۰۶۷۳۱-	.۲E2/۱۸۷۵۱	.۰۰۱	-۱۲۱۵/۸۴۲۹	-۳۳۲/۲۹۱۷
	۳		*۴۹۷/۲۸۴۰۹-	.۲E2/۲۶۱۹۹	.۰۰۴۴	-۹۵۴/۱۰۳۱	-۴۰/۴۶۵۰
Fcol	۲		۲۳/۰۷۶۹۲	.۱1/۷۲۷۵۴	.۰۰۵۶	-۰/۶۰۷۳	۴۶/۷۶۱۲
	۱	۳	*۲۴/۹۶۵۰۳	.۱2/۲۴۹۰۱	.۰۰۴۸	.۰/۲۲۷۷	۴۹/۷۰۲۴
	۴		*۹۹/۰۶۷۳	.۱3/۴۳۵۵۸	.۰۰۰۰	۷۱/۹۳۹۶	۱۲۶/۲۰۱۰
	۱		۲۳/۰۷۶۹۲-	.۱1/۷۲۷۵۴	.۰۰۵۶	-۴۶/۷۶۱۲	.۰/۶۰۷۳
	۲	۳	۱/۸۸۸۱۱	.۱2/۲۴۹۰۱	.۰۰۷۸	-۲۲/۴۸۹۳	۲۶/۶۲۵۵
	۴		*۷۵/۹۹۰۳۸	.۱3/۴۳۵۵۸	.۰۰۰۰	۴۸/۸۵۶۷	۱۰۳/۱۲۴
	۱		*۲۴/۹۶۵۰۳-	.۱2/۲۴۹۰۱	.۰۰۴۸	-۴۹/۷۰۲۴	-۰/۲۲۷۷
	۳	۲	۱/۸۸۸۱۱-	.۱2/۲۴۹۰۱	.۰۰۷۸	۲۶/۶۲۵۵	۲۲/۸۴۹۳
	۴		*۷۴/۱۰۲۲۷	.۱3/۸۹۳۰۹	.۰۰۰۰	۴۶/۰۴۴۶	۱۰۲/۱۵۹۹
	۱		*۹۹/۰۶۷۳۱-	.۱3/۴۳۵۵۸	.۰۰۰۰	۱۲۶/۲۰۱۰-	۷۱/۹۳۳۶-
	۴	۲	*۷۵/۹۹۰۳۸-	.۱3/۴۳۵۵۸	.۰۰۰۰	۱۰۳/۱۲۴۱-	۴۸/۸۵۶۷-
	۳		*۷۴/۱۰۲۲۷-	.۱3/۸۹۳۰۹	.۰۰۰۰	۱۰۲/۱۵۹۹-	۴۶/۰۴۴۶-
Color	۲		-۱۱۱/۶۹۲۳۱	.۳E1/۵۹۴۲۱	.۰۲۸۷	۴۹۳۹/۲۶۶۶-	۱۴۹۹/۸۸۲۰
	۱	۳	۱۵۴۲/۴۷۵۵۲-	.۳0E1/۶۶۵۱	.۰۳۶۰	۴۹/۰۲۱۱۲-	۱۸۲۰/۲۶۰۲
	۴		*۳۸۷۸/۶۱۵۳۸	.۳E1/۸۲۶۴۰	.۰۰۴۰	۱۹/۰/۱۲۹۷	۷۵۶۷/۱۰۱۱
	۱		۱۷۱۹/۶۹۲۳۱	.۳E1/۵۹۴۲۱	.۰۲۸۷	۱۴۹۹/۸۸۲۰-	۴۹۳۹/۲۶۶۶
	۲	۳	۱۷۷/۲۱۶۸۷۸	.۳E1/۶۶۵۱۰	.۰۹۱۶	۳۱۸۵/۰۱۸۹-	۳۵۳۹/۹۵۲۵
	۴		*۵۵۹۸/۳۰۷۶۹	.۳E1/۵۹۴۲۱	.۰۰۰۴	۱۹/۰/۸۲۲۰-	۹۲۸۶/۷۹۳۴
	۱		۵۴۳/۴۷۵۵۲	.۳0E1/۶۶۵۱	.۰۳۶۰	۱۸۲۰/۲۶۰۲-	۴۹/۰/۲۱۱۲
	۳	۲	۱۷۷/۲۱۶۸۷-	.۳0E1/۶۶۵۱	.۰۹۱۶	-۳۵۳۹/۹۵۲۵	۳۱۸۵/۰۱۸۹
	۴		*۵۴۲۱/۰۹۹۱	.۳E1/۸۸۸۰۹	.۰۰۰۶	۱۶۰/۰/۰۳۹	۹۲۳۵/۱۷۷۹
	۱		*۳۸۷۸/۶۱۵۳۸-	.۳E1/۵۹۴۲۱	.۰۰۴۰	۷۵۶۷/۱۰۱۱-	۱۹/۰/۱۲۹۷-
	۴	۲	*۵۵۹۸/۳۰۷۶۹-	.۳E1/۵۹۴۲۱	.۰۰۰۴	۹۲۸۶/۷۹۳۴-	۱۹/۰/۸۲۲۰-
	۴		*۵۴۲۱/۰۹۹۱-	.۳E1/۸۸۸۰۹	.۰۰۰۶	۹۲۳۵/۱۷۷۹-	۱۶۰/۰/۰۳۹-

\*. The mean difference is significant at the 0.05 level.

اطمینان ۵/۰ معنی دار و بصورت معکوس می‌باشد یا عبارتی با افزایش pH یا همان قلیائیت میزان Fcol کاهش یافته و بالعکس. در خصوص میزان همبستگی COD با سایر پارامترهای کیفی فاضلاب میزان همبستگی بین این پارامتر با کل مواد جامد معلق یا TSS بصورت مثبت بوده که این یعنی آلودگی فاضلاب ناشی از مواد خارجی بوده که وارد آب شده و بصورت معلق یا محلول باعث آلودگی آن و تولید فاضلاب شده است. بدیهی است هرچه مقدار این مواد در فاضلاب بیشتر باشد، بارآلودگی آن نیز بیشتر خواهد بود. بنابراین اندازه گیری مقدار مواد خارجی فاضلاب کلید اصلی در تعیین مقدار آلودگی و آلیندگی فاضلاب است. بدیهی است که هرچه مقدار COD یک فاضلاب بیشتر باشد مقدار مواد خارجی موجود در آن که باعث آلودگی آن می‌شود نیز بیشتر خواهد بود. نتایج تحلیل آماری حاصل از این پژوهش نیز مؤید این موضوع می‌باشد. رابطه بین COD و BOD که نسبت COD به BOD باشد معمولاً برای فاضلاب ورودی ۱/۵ خواهد بود. در مورد پساب ثانویه که خوب تثبیت شده است این میزان به ۱ به ۰/۱ کاهش می‌یابد. رقم COD معمولاً در فاضلاب‌ها بین ۲۰۰ تا ۶۰۰ میلی گرم در هر لیتر متغیر است. آزمایش برای تخمين سریع یک نمونه فاضلاب است. میزان همبستگی پیرسون بین COD و BOD، ۰/۸ بدست آمد و این میزان همبستگی بین BOD و T<sub>55</sub>، ۰/۵۵ بدست آمد. نتایج حاصل از سایر پارامترهای آماری در جدول (۳) ارائه شده است.

### تفسیر نتایج همبستگی

در همبستگی‌ها، سطح معناداری عبارت است، احتمال به دست آوردن نتایج تحقیق تا حد و درجه‌ای که محقق مشاهده کرده است. اگر سطح معناداری کوچک‌تر از ۰/۵ باشد، نتیجه می‌گیریم که بین دو متغیر همبستگی معنی‌دار وجود دارد؛ اما اگر سطح معناداری بزرگ‌تر از ۰/۵ باشد در آن صورت، همبستگی بین دو متغیر معنی‌دار نبوده و این دو متغیر ارتباط خطی با یکدیگر ندارند. در این پژوهش ماتریس همبستگی پارامترهای کیفی فاضلاب، یعنی: T,pH,COD,BOD,TSS,Tcol,Fcol,Parazit,Color بررسی گردید. همانطور که از نتایج جدول (۲) استنباط می‌شود، همبستگی بین T و Fcol در سطح اطمینان ۱/۰ معنی‌داری ۴۰/۰ بوده، در اینجا ضریب همبستگی بین پارامترهای مذکور مثبت بوده یعنی با افزایش دما (T) میزان انگل کل (Fcol) افزایش می‌یابد. همچنین با توجه به میزان Sig یا همان معناداری، مشاهده می‌شود که رابطه این دو متغیر معنادار می‌باشد. از لحاظ کیفی در مخازن سدها، برکه‌ها، تالاب‌ها و رودخانه در مناطق معتدل و سردسیر در اوخر تابستان به علت گرمای هوا و افزایش دما میزان آلودگی و کیفیت آب آنها به پایین ترین سطح ممکن رسیده است که نتایج حاصل از این پژوهش برای تصفیه خانه لجن فعال فاضلاب ارak نیز از این واقعیت حکایت دارد. در خصوص همبستگی بین pH و Fcol این همبستگی در سطح

جدول ۳- ماتریس نتایج همبستگی بین پارامترهای مختلف تصفیه فاضلاب لجن فعل اراک

		T	pH	COD	BOD	TSS	Tcol	Fcol	Parazit	Color
T	Pearson Correlation	1	-0.09	-0.086	-0.055	-0.197	-0.276	-0.40**	A	-0.17
	Sig. (2-tailed)		-0.955	-0.573	-0.720	-0.195	-0.67	-0.6	.	-0.264
	Sum of Squares and Cross-products	515/0.09	-0.239	9.0/352	31/489	112/422	2/229E4	2/687E3	-/0...	1/134E5
pH	Covariance	11/70.7	-0.005	2/0.53	-0.724	2/0.555	0.6/0.580	61/0.70	-/0...	2/0.576E3
	Pearson Correlation	-0.09	1	-0.004	-0.208	-0.011	-0.053	-0.363*	A	-0.342*
	Sig. (2-tailed)	-0.955		-0.981	-0.170	-0.943	-0.730	-0.014	.	-0.022
COD	Sum of Squares and Cross-products	-0.239	1/487	-0.120	6/476	-0.133	-229/459	-130/881	-/0...	-1/222E4
	Covariance	-0.005	-0.34	-0.005	-0.147	-0.008	-0.215	-2/975	-/0...	-227/919
	Pearson Correlation	-0.086	-0.004	1	-0.080	-0.265*	-0.002	-0.202	A	-0.083
BOD	Sig. (2-tailed)	-0.573	-0.981		-0.600	-0.014	-0.988	-0.184	.	-0.587
	Sum of Squares and Cross-products	9.0/362	-0.202	2/125E3	94/0.2	422/310	388/876	-2/751 E3	-/0...	1/126E5
	Covariance	2/0.53	-0.005	48/297	2/148	9/621	-8/838	-62/522	-/0...	2/0.559E3
	Pearson Correlation	-0.055	-0.208	-0.180	1	-0.164	-0.37	-0.119	A	-0.103
	Sig. (2-tailed)	-0.720	-0.17	-0.60		-0.281	-0.808	-0.436	.	-0.317
	Sum of Squares and Cross-products	31/489	6/476	94/0.2	652/311	105/716	-3/392E3	-899/422	-/0...	-1/144E5
	Covariance	-0.724	-0.147	2/148	14/825	2/4.0	-77/0.90	-20/441	-/0...	-2/800 E3

ادامه جدول ۳- ماتریس نتایج همبستگی بین پارمترهای مختلف تصفیه فاضلاب لجن فعال اراک

		T	pH	COD	BOD	TSS	Tcol	Fcol	Parazit	Color
TSS	Pearson Correlation	.0/197	-.0/011	.0/365*	.0/164	1	.0/037	.0/045	A	.0/015
	Sig. (2-tailed)	.0/195	.0/943	.0/014	.0/281		.0/809	.0/771	.	.0/922
	Sum of Squares and Cross-products	112/422	-.0/334	423/315	10.5/716	634/166	2/326E-3	331/949	.0/...	1/114E4
	Covariance	2/555	-.0/008	9/621	2/403	14/413	75/581	7/544	.0/...	253/206
Tcol	Pearson Correlation	.0/276	-.0/053	-.0/002	-.0/037	.0/037	1	.0/261	A	.0/513**
	Sig. (2-tailed)	.0/067	.0/730	.0/988	.0/808	.0/809		.0/084	.	.0/...
	Sum of Squares and Cross-products	2/229 E 4	-229/459	-388/876	-3/392E2	2/326 E 3	1/270 E 7	2/746 E 5	.0/...	5/365 E 7
	Covariance	50.6/580	-5/215	-8/838	-77/090	75/581	2/886 E 5	6/241E3	.0/...	1/219 E 6
Fcol	Pearson Correlation	.0/400**	.0/363*	-.0/202	-.0/119	.0/045	.0/261	1	A	.0/364*
	Sig. (2-tailed)	.0/006	.0/014	.0/184	.0/436	.0/771	.0/084		.	.0/014
	Sum of Squares and Cross-products	2/687 E 3	-130/881	-2/751 E	-899/422	231/949	2/746 E 5	8/741 E 4	.0/...	2/161 E 6
	Covariance	61/70	-2/975	-62/522	-20/441	7/544	6/241 E 3	1/987 E 3	.0/...	7/183 E 4
parazit	Pearson Correlation	A	a	A	A	a	A	a	A	a
	Sig. (2-tailed)	.	.	.	.	.	.	.	.	.
	Sum of Squares and Cross-products	.0/...	.0/...	.0/...	.0/...	.0/...	.0/...	.0/...	.0/...	.0/...
	Covariance	.0/...	.0/...	.0/...	.0/...	.0/...	.0/...	.0/...	.0/...	.0/...
Color	Pearson Correlation	.0/170	-.0/347*	.0/083	-.0/153	.0/015	.0/513**	.0/364*	A	1
	Sig. (2-tailed)	.0/264	.0/22	.0/587	.0/317	.0/922	.0/...	.0/014	.	.
	Sum of Squares and Cross-products	1/134 E 5	-1/223 E 4	1/126 E 5	-1/144 E 5	1/114 E 4	5/365 E 7	2/161 E 6	.0/...	8/807 E 8
	Covariance	2/576 E 3	-227/919	2/559 E 3	-2/600 E 3	253/206	1/219 E 6	7/183 E 4	.0/...	1/956 E 7

**نتیجه‌گیری**

معمولًا در کلرزنی فاضلاب باید غلظت کلر در فاضلاب ۸ میلی‌گرم بر لیتر (ppm) و زمان ماند کلر حدود نیم ساعت باشد. برای اینکه غلظت کلر به حد موردنظر برسد در مخزنی محلول کلر را به غلظت موردنیاز رسانده و پس از آماده‌سازی به‌وسیله پمپ‌های تزریق (دوزینگ پمپ‌ها) در زمان مشخص به فاضلاب تزریق می‌کنیم تا عمل گندزدایی به خوبی انجام شود. نتایج حاصل از این تحقیق نشان داد: ۱) نسبت ۳/۶ تا برابری COD به BOD در فاضلاب خام ورودی نشان از ماهیت بهداشتی و معمول فاضلاب ورودی به تصفیه‌خانه لجن فعال شهر اراک داشته و این موضوع بیانگر عدم ورود و تأثیر فاضلاب‌های صنعتی بر فرآیند تصفیه فاضلاب در این تصفیه‌خانه دارد نتایج حاصل نشان داد که وضعیت میزان COD و BOD در پساب خروجی فاضلاب برای آبهای سطحی، چاههای جذبی و مزارع کشاورزی در محدوده مجاز قرار داشته و شرایط مطلوبی از این حیث را دارا بوده است. ۲) نتایج حاصل از آزمون MPN نشان داد که، ایجاد واکنش‌های اسیدی با تولید گاز در بازه زمانی ۴۵ تا ۵۱ ساعت مبین پاسخ مثبت آزمایش جهت شناسی کلیفرم کل و عدم واکنش اسیدی طی این بازه زمانی بیانگر واکنش منفی نتایج احتمالی بوده است. همچنین نتایج حاصل از جدول محاسبات آماری MPN حاکی از دقت این روش در تحلیل آزمایشگاه میکروبی آب و مناسب بودن آن است. ۳) نتایج حاصل از آنالیز نمونه‌ها برای پارامترهای pH، TSS، COD، BOD، دما و کلیفرم کل نشان داد که، متوسط pH در پساب خروجی تصفیه خانه ۷/۷۳، که این مقدار در محدوده مجاز قرار داشته است و متوسط دما ۱۷/۳ درجه سانتیگراد بوده است. متوسط COD برابر ۱۰/۴ و برای BOD این مقدار ۳۳/۳ میلی‌گرم در لیتر بوده است که نتایج آنها مبین ماهیت بهداشتی فاضلاب ورودی به تصفیه خانه بوده است. ۴) میزان مصرف کلر در روزها و ماههای مختلف متفاوت بوده که این تغییر در میزان کلر مصرفی بدلیل تغییر در شرایط آب و هوایی یا بعبارتی نوسانات دمایی در تصفیه خانه بوده است و میزان استفاده از کلر ارتباط تنگاتنگی با مقدار کلیفرم موجود در تصفیه‌خانه داشته از این‌رو کلرزنی بعنوان روشنی بهینه برای گندزدایی بکار گرفته شده است.

متوسط هفتگی مصرف کلر در فصل پاییز ۴۷۶/۲۱ کیلوگرم بوده است. کمترین میزان مصرف کلر نسبت به سایر فضول مربوط به فصل زمستان بوده است که این میزان ۱۵/۶۲ درصد بوده است بطوریکه بیشترین میزان در این فصل مربوط به دی‌ماه بوده است که این میزان در فصل زمستان ۳۱۲۳/۳۸ کیلوگرم بوده است و متوسط مصرف هفتگی در این فصل ۲۶۰/۲۸ کیلوگرم بوده است. نتایج حاصل از مقدار کلرزنی بهینه در این پژوهش براساس سعی و خطا صورت گرفته است. ۵) ذرات حاوی ارگانیسمهای کلیفرمی عامل دیگری است که بر عملکرد گندزدایی کلر برای گندزدایی جریان خروجی صاف سازی نشده تاثیر گذار است. ۶) کلرزنی در گندزدایی فاضلاب موجب گندزدایی موثر شده و کلر باقی مانده قابل پایش و حفاظت است. ۷) کلر باقی مانده میکروب کش را می‌توان در خطوط طولانی انتقال حفظ کرد. ۸) کلر ماده شیمیایی زیان آور که ممکن است برای کارگران تصفیه خانه و مردم عادی خطرناک باشد، بنابراین اقدامات ایمنی سختگیرانه ای باید اتخاذ شود. ۹) کلر در مقایسه با دیگر گندزدایها به زمان ماند نسبتاً طولانی تری نیاز است. ۱۰) کلر باعث تشكیل تری هالومتان ها و آزاد سازی ترکیبات آلی فرار از حوضچه های تماس کلر می گردد. ۱۱) کلر، آهن و منیزیم و دیگر ترکیبات غیر آلی را اکسید می نماید. (با مصرف گندزدای) و همچنین انواع مختلفی از ترکیبات آلی را اکسید می نماید. ۱۲) هدف از کلرزنی در تصفیه خانه های فاضلاب ، کنترل و پیشگیری از تولید عواملی مانند بو، خوردگی، حجیم شدن لجن ، کف درهاضم ، ویا عامل کمکی در تغییظ لجن است . اپراتور باشستی به این نکته مهم توجه کند که کلر می تواند در فرایندهای تصفیه زیستی اخلال ایجاد نماید ویا آنها را به کلی متوقف سازد . لذا کلرزنی باید یک اقدام اضطراری باشد. در بعضی از تصفیه خانه ها ممکن است عمل پیش کلرزنی نیز قبل از واحدهای ته نشینی جهت کاهش بار آلی و کنترل بو استفاده شود ولی کلرزنی نهایی بعد از واحد ته نشینی در تصفیه خانه ، موثرترین محل برای کلرزنی به منظور ضدغونی پساب است. کاربرد کلر به جز گندزدایی موجب کاهش بوی فاضلاب سبب کاهش مواد روغنی و درجه کدری فاضلاب می‌شود. همچنین بوی کلر حشرات را از فاضلاب دور می کند.

**منابع**

- Ebrahimi A., and Erfani M. 2012. Investigating the effectiveness of biological removal methods of BNR nutrients and comparing them from an economic point of view, the second national conference on structures, earthquakes and geotechnics.
- Basmanj A., Siddaraji H., Rasouli Fard M.S., Moghadam M.H., Sheikh Mohammadi S. 2019. Synthesis and evaluation of the efficiency of open-cell polyurethane sponge-silver oxide nanocomposite in water disinfection. Environmental Science and Technology, 22(4), pp 29-40.
- Sanandji Z. 1391. Investigating the return performance of Mixed Liquor on reducing the output nitrogen of Shiraz sewage treatment plant in the pilot scale, Master's Thesis, Shiraz University.
- Anbir L., and Noori Z .2017. Investigating the quality of Ekbatan urban wastewater treatment plant effluent for use in agricultural lands and green spaces. Land Management, 6(1), pp95-102.
- Babaei N., Tabesh M., Nazif S.2016. Optimizing water quality in distribution networks based on pump cycle status, chlorine injection method and type of analysis method. Water and sewage, 28(2),pp 55-64.
- Bani Mahdkivani, M., Fekri M.H. 1400. Preparation of silver nanoparticles/polyamide (Nylon 6) composites by chemical reduction method for water disinfection. Nanoscale, 8(3), pp102-110.
- Fallahpour, M. 2017. Determining the optimal method for removing nitrate and carbon of organic matter by A2/O method in activated sludge process, Thesis, Shahid Abbaspour University of Water and Electrical Engineering
- Lotfi Ali and Mamqani-nejad M.2018 . Application of artificial wetland system with subsurface flow in urban wastewater treatment in cold and dry climate (case study of Arak sewage treatment plant). Water and soil sciences, 23 (4), 265-253.
- Mirzaei Takhtgahi H., and Qamarnia H. 2016, Quality of Kermanshah water treatment plant effluent for discharge to surface water, 4th International Conference on Environmental Planning and Management, Tehran.
- Parsamanesh, M. R. 2011. Investigating the performance of sewage stabilization ponds in Arak city and providing solutions to increase its efficiency, Thesis, Islamic Azad University, Tehran Science and Research Unit.
- Amini M., Otadi M .2016. Investigating the anoxic reactor of Sari wastewater treatment plant using the MLE activated sludge method and determining the factors affecting it, the third international conference on new research achievements in chemistry and chemical engineering, Tehran.
- Tabesh, Massoud; Azadi, Behrad, and Rozbahani, Abbas. 2018. Optimizing the amount of chlorine injection in water supply networks by genetic algorithm. Water and Sewage, 22(1) 11-2.
- Quaid Rahmati, Mojtaba; Moadad, Hadi and Tisheh-Zan, Parvaneh. 2019. Estimation of TSS output of Ahvaz wastewater treatment plant using intelligent models. Environmental Science and Technology, 22(9), 267-250.
- Khalili A., Mohabi M.R., Mohebi M. and Ashuri F. 2014. A new method for the biological start-up of Arak activated sludge wastewater treatment plant. Journal of Water and Wastewater, 25(6), pp105-100.
- Dindarlou, A., and Dasturani, M. 2016. Investigating the efficiency of wastewater treatment by activated sludge method in ensuring the quality of effluent for irrigation purposes (case study: Kermanshah Wastewater Treatment Plant), Water and Sustainable Development, 4(2), pp40-31.
- Zunemat Kermani M., Jamalizadeh M., and Ramezani Charmahina A. 2017. Non-linear management and analysis of water distribution network disinfection system using data-driven methods. Water and Wastewater, 29(1), pp49-59.
- Abdo S. M., El-Liethy M. A., Doma H. S., El Tawee G. E. & Ali G. H. 2022. Chlorine as an integrated approach for environmental health and hygiene: A case study on evaluation of the performance of waste stabilization ponds located at 11 governorates in Egypt. Emerging Contaminants,(8),pp 243-253.
- Ammar, T.A. Abid, K.Y. El-Binary, A.A. & El-Sonbati, A.Z. 2014 . Chlorine dioxide bulk decay predictionin desalinated drinking water, *Journal of Desalination*, 352, pp 45-51.
- Burasiys, H.P.&Shah, M. 2017 .Waste Water Treatment by Environmental Microbiology, Journal of Bioremediation & Biodegradation, 8(2),pp1-8.
- Capodaglio, A. Hlavinek, P. & Raboni, M. 2016 . Advanced in wastewater nitrogen removal by biological processes, *An interdisciplinary Journal of*

- Applied Science*, 11(2), pp250-267.
- Gamiz J. Grau A. Martínez H. & Bolea Y. 2020 . Automated chlorine dosage in a simulated drinking water treatment plant: A real case study, *Applied Sciences*, 10(11), 4035.
- Gustave, A.& Lara-Borrero, J. 2016 . Tools to support the decision-making in the design and operation of activated sludge process for municipal wastewater treatment in developing countries, *International Journal of Applied Engineering Research*, ISSN 0973-4562 , 11(13), pp7967-7973.
- Hoko, Z. Toto, T. N. Mapenzauswa, C. F. Nhlwatiwa, T. Chipfunde, L. & Hunguru S. 2021. Investigating use of chlorine dioxide for pre-treatment of raw water from polluted sources at Morton Jaffray Water Treatment Works, Harare, Zimbabwe, *Water Practice & Technology*, 16(4), pp 1290-1306.
- Islami, B. B. Priadi, C. R. Adityosulindro, S. & Abdillah, A. 2019 . Wastewater disinfection efficiency using one-step and two-step chlorination. In *MATEC Web of Conferences* (Vol. 280, p. 05015). *EDP Sciences*.
- Karadirek I.E., Kara S., Muhammetoglu A., Muhammetoglu H. Soyupak S. 2016 . Management of chlorine dosing rates in urban water distribution networks using online continuous monitoring and modeling, *Urban Water Journal*, 13(4), pp345-359.
- Karadirek I.E. Soyupak S. Muhammetoglu H. 2016 . Chlorine modeling in water distribution networks using ARX and ARMAX model structures, *Desalination and Water Treatment*, 57(25), pp11592-11598.
- Kesar S., Bhatti M. S. 2022 . Chlorination of secondary treated wastewater with sodium hypochlorite (NaOCl): An effective single alternate to other disinfectants, *Heliyon*, 8(11).
- Lee, J. H. Qiao, Q. S. Chan, S. N. Choi, K. W.& Chau H. K. 2023 . Reduction of Chlorine Disinfection Dosage through Optimal Jet Design in the Hong Kong Harbor Area Treatment Scheme. *Journal of Environmental Engineering*, 149(2), pp1-12.
- Metcalf & Eddy A, Bowden M., Burton G., Pfrang F. L., Stensel W., AECOM H, D. 2014. *Wastewater engineering: treatment and resource recovery*, McGraw Hill Education.
- Nejjari, F. Puig, V. Perez, R. Quevedo, M.A. Cuguero, M.A. Sanz, G.& Mirats, J.M. (2014). Chlorine decay model calibration and comparison: Application to a real water network, *Journal of Procedia Engineering*, 70, pp1221-1230.
- Perju, S.& Stanescu, I. 2015 . Numeric modelling of the residual chlorine concentration evolution in a water distribution network, *Revista de Chimie*, 66(6), pp 886-890.
- Rachmadi, A. T. Kitajima, M. Kato, T. Kato, H. Okabe, S. & Sano, D. 2020 . Required chlorination doses to fulfill the credit value for disinfection of enteric viruses in water: a critical review. *Environmental Science & Technology*, 54(4), pp 2068-2077.
- Tibebe, D., Negash, A., Mulugeta, M., Kassa, Y., Moges, Z. & Yenealem D. 2022 . Investigation of selected physico-chemical quality parameters in industrial wastewater by electrocoagulation process, *Ethiopia. BMC chemistry*, 16(1), pp1-9.
- Wu W. Dandy G.C. and Maier H.R. 2015 .Optimal control of total chlorine and free ammonia levels in a water transmission pipeline using artificial neural networks and genetic algorithms, *Journal of Water Resources Planning and Management*, 141(7),pp 123-135.